

## Rapport de modélisation

Étude de dispersion des  
émissions atmosphériques pour  
l'ensemble des installations du  
projet de construction d'une  
ferme piscicole terrestre à Baie-  
Trinité

**AquaBoreal**

---

Ferme piscicole  
Route 138, Baie-Trinité (Québec)

---

AQB-001-4C-0000-RAP-001-R01

Version finale révisée

JUILLET 2025

Alphard

# Alphard

## AquaBoreal

---

Rapport de modélisation

Étude de dispersion des émissions atmosphériques pour les installations du projet  
de construction d'une ferme piscicole terrestre à Baie-Trinité

**AquaBoreal inc.**

Ferme piscicole

Route 138, Baie-trinité (Québec)

N/Dossier : AQB-001-4C-0000-RAP-001-R01

Version finale révisée

Préparé par :

Justine Galipeau

Justine Galipeau, CPI, M. Env.

Chargée de projet en environnement

N° OIQ : 6048631

Et :



Nicolae Fugaru, B.Sc.

Géomaticien sr. et modélisateur

Vérifié par :



Pascale Pierre, ing., Ph. D.

Consultante externe

Ingénierie environnementale

N° OIQ : 123771

**PROPRIÉTÉ ET CONFIDENTIALITÉ**

« Ce document d'ingénierie est la propriété de Groupe Alphard et protégé par la loi. Ce rapport est destiné exclusivement aux fins qui y sont mentionnées. Toute reproduction ou adaptation, partielle ou totale, est strictement prohibée sans avoir préalablement obtenu l'autorisation écrite de Groupe Alphard et de son Client.

Si des essais ont été effectués, leurs résultats ne sont valides que pour l'échantillon décrit dans le présent rapport.

Les sous-traitants de Groupe Alphard qui aurait réalisé des travaux au chantier ou en laboratoire sont dûment qualifiés. Pour toute information complémentaire ou de plus amples renseignements, veuillez communiquer avec votre chargé de projet ».

**REGISTRE DES RÉVISIONS ET ÉMISSIONS**

Date	Révision n°	Description de la modification et/ou de l'émission
13-06-2025	0A	Version préliminaire
16-06-2025	R00	Version finale
16-07-2025	R01	Version révisée suite aux commentaires du MELCCFP

## Table des matières

<b>1. Introduction .....</b>	<b>1</b>
1.1 Ferme piscicole .....	1
1.1.1 Systèmes non susceptibles d'émettre des odeurs ou d'autres polluants .....	1
1.1.2 Systèmes potentiellement générateurs d'odeurs ou d'autres polluants .....	1
1.2 Production attendue .....	2
1.3 Contexte et documents de référence .....	2
1.4 Révision du rapport de modélisation.....	3
<b>2. Localisation .....</b>	<b>4</b>
<b>3. Modèle utilisé .....</b>	<b>5</b>
<b>4. Considération des effets des bâtiments .....</b>	<b>6</b>
<b>5. Informations sur les sources et scénarios de modélisation .....</b>	<b>7</b>
5.1 Analyse des sources potentielles avoisinantes .....	7
5.2 Scénario de modélisation.....	7
5.2.1 Scénario considéré pour la modélisation .....	7
5.2.2 Sources identifiées pour les activités projetées de la ferme piscicole : modélisation des H <sub>2</sub> S, odeurs, PM <sub>2,5</sub> et PST .....	7
5.2.3 Taux d'émission pour la modélisation des particules PM <sub>2,5</sub> et PST .....	10
5.2.4 Horaire et taux d'émission pour la modélisation des odeurs et du H <sub>2</sub> S .....	11
5.2.4.1 Émissions d'odeurs potentielles .....	11
5.2.4.2 Émissions d'odeurs retenues .....	12
5.2.4.3 Taux d'émission d'odeurs et H <sub>2</sub> S .....	12
5.2.5 Taux d'émission pour la modélisation des NO <sub>x</sub> et du CO .....	13
<b>6. Informations sur les contaminants .....</b>	<b>14</b>
<b>7. Domaine de modélisation, récepteurs et limite d'application des normes et critères .....</b>	<b>15</b>
<b>8. Topographie .....</b>	<b>17</b>
<b>9. Météorologie.....</b>	<b>18</b>
<b>10. Résultats de la modélisation de dispersion atmosphérique.....</b>	<b>19</b>
10.1 Résultats de la modélisation des particules PM <sub>2,5</sub> , PST, CO et NO <sub>x</sub> .....	19
10.2 Résultats de la modélisation des odeurs et du H <sub>2</sub> S.....	20
<b>11. Conclusion et recommandations .....</b>	<b>21</b>

## Liste des figures

Figure 1 :	Vue aérienne de la région .....	4
Figure 2 :	Localisation approximative des bâtiments .....	6
Figure 3 :	Paramètres du Module «Haul Road» pour la source SLINE2 .....	9
Figure 4 :	Localisation approximative des sources .....	10
Figure 5 :	Vue des récepteurs couvrant la zone.....	15
Figure 6 :	Topographie considérée dans la modélisation.....	17
Figure 7 :	Rose des vents, aéroport de Baie Comeau .....	18

## Liste des tableaux

Tableau 1 :	Production piscicole .....	2
Tableau 2 :	Coordonnées, caractéristiques et taux d'émission des sources ponctuelles .....	8
Tableau 3 :	Coordonnées et caractéristiques des sources linéaires volumiques selon les scénarios de modélisation .....	9
Tableau 4 :	Phase de construction associée aux sources d'émission .....	9
Tableau 5 :	Horaire d'émissions pour les sources émettrices de particules PM <sub>2,5</sub> et PST .....	11
Tableau 6 :	Contaminants modélisés, normes et critères québécois de qualité de l'atmosphère applicable (MELCCFP, version 9, 2025) .....	14
Tableau 7 :	Maillage de la grille réceptrice .....	16
Tableau 8 :	Récepteurs sensibles discrets identifiés à proximité.....	16
Tableau 9 :	Résultats de la dispersion des PM <sub>2,5</sub> et PST.....	19
Tableau 10 :	Résultats de la dispersion des CO et NO <sub>x</sub> .....	19
Tableau 11	Résultats de la dispersion des odeurs et du H <sub>2</sub> S .....	20

## Liste des annexes

Annexe 1	Note d'analyse du devis de modélisation de la DPQAC
Annexe 2	Fiche technique des systèmes et équipements auxiliaires
Annexe 3	Taux d'émission des polluants associés au transport sur des routes non revêtues
Annexe 4	Taux d'émission des polluants associés au systèmes et équipements auxiliaires
Annexe 5	Taux d'émission des polluants associés au transport des boues et résidus de l'éviscération
Annexe 6	Taux d'émission des polluants associés au système de traitement des eaux et des boues
Annexe 7	Taux d'émission des polluants associés aux enceintes d'éviscération des poissons
Annexe 8	Rapport « Données météorologiques – Baie-Comeau » d'Airmet Science
Annexe 9	Résultats de la modélisation de dispersion atmosphérique
Annexe 10	Fiche technique de l'analyseur portatif de gaz
Annexe 11	Fichiers d'entrée et de sortie de la modélisation de dispersion atmosphérique

## 1. Introduction

Dans le cadre de son projet d'implantation d'un site piscicole à proximité de Baie-Trinité, l'entreprise AquaBoreal prévoit l'élevage de saumon de l'Atlantique (*Salmo salar*) destiné au marché de la consommation. La production annuelle nette atteindra 10 000 tonnes lors de la phase 1 et 30 000 tonnes lors de la phase 2. Ce projet impliquera diverses activités susceptibles d'engendrer des impacts environnementaux, notamment en ce qui concerne les émissions atmosphériques associées à l'exploitation du site.

Afin de satisfaire aux exigences réglementaires en matière de protection de l'environnement, une étude de modélisation atmosphérique a été réalisée. Cette étude avait pour objectif d'évaluer la dispersion des polluants atmosphériques générés par les installations et les activités liées au projet, en particulier les émissions d'odeurs, de particules totales en suspension (PST) et de particules fines (PM<sub>2,5</sub>), susceptibles d'affecter la qualité de l'air ambiant et la conformité aux normes en vigueur. L'étude de dispersion atmosphérique est réalisée sur la capacité de production totale de l'entreprise, soit les phases 1 et 2 combinées.

Le présent rapport présente les grandes lignes de l'étude de dispersion des émissions atmosphériques, incluant les hypothèses de travail relatives aux taux d'émission ainsi que les données topographiques et météorologiques qui ont été utilisées pour la réalisation de l'analyse.

### 1.1 Ferme piscicole

Cette section décrit les installations projetées d'AquaBoreal pour l'implantation d'un nouveau lieu de production piscicole. Dans le contexte du projet, les principaux systèmes de production décrits à la section suivante ont été retenus.

#### 1.1.1 Systèmes non susceptibles d'émettre des odeurs ou d'autres polluants

- Prise d'eau : L'alimentation en eau brute se fera à partir du golfe du Saint-Laurent par le biais de quatre (4) conduites sous-marines aboutissant à une prise d'eau équipée de grilles fines, située à 2,5 km de la côte;
- Installations piscicoles : Trois (3) bâtiments d'élevage produiront jusqu'à 30 450 t/an de saumon. Les poissons évolueront en circuits fermés (RAS), adaptés à chaque phase de croissance. Ces systèmes recirculeront jusqu'à 99,7 % de l'eau et comprendront la filtration, la désinfection, la biofiltration et l'oxygénéation.

#### 1.1.2 Systèmes potentiellement générateurs d'odeurs ou d'autres polluants

- Systèmes générateurs d'odeurs : Les systèmes de gestion des boues, le traitement de l'eau ainsi que les opérations d'abattage et d'éviscération sont susceptibles de générer des odeurs. Ces zones feront l'objet d'une attention particulière en matière de confinement et de traitement d'air;

- Usine de traitement des effluents : toutes les eaux usées seront traitées sur place. Le procédé comprendra la flottaison, l'ozonation, la filtration et la désinfection UV. Les boues générées seront initialement stockées dans des réservoirs situés à l'intérieur des bâtiments. Elles seront ensuite transférées, au moyen de pompes, vers des systèmes de déshydratation, avec ajout de produits chimiques, si nécessaire.  
Une fois déshydratées, les boues seront entreposées de manière sécurisée, tandis que le filtrat issu de la déshydratation sera renvoyé en amont du procédé, dans le bassin d'homogénéisation;
- Voirie : les activités de transport et de circulation sur des voies non revêtues du site sont susceptibles de générer des PST ainsi que des PM<sub>2,5</sub>;
- Systèmes et équipements auxiliaires : les génératrices d'urgence sont susceptibles de générer des oxydes d'azote (NO<sub>x</sub>), du monoxyde de carbone (CO) ainsi que des PM<sub>2,5</sub>.

## 1.2 Production attendue

Le tableau 1 présente la production piscicole attendue selon les phases de construction de l'entreprise.

Tableau 1 : Production piscicole

Paramètre	Années de production	Tonnes
Phase 1	Années 1 à 3	10 000
Phase 2a	Années 4 à 6	20 000
Phase 2b	Années 7 à 10	30 000

## 1.3 Contexte et documents de référence

C'est dans ce contexte que les services professionnels de Groupe Alphard inc. (« Groupe Alphard ») ont été retenus par CIMA+ et AquaBoreal afin de réaliser une étude de dispersion des émissions atmosphériques.

Le présent document a pour objectif de présenter l'approche de la modélisation pour confirmer l'atteinte des normes ou critères en s'appuyant sur les documents suivants :

- Guide de la modélisation de la dispersion atmosphérique (MELCCFP, 2025);
- *Règlement sur l'assainissement de l'atmosphère* (RAA) – Chapitre Q-2, r.4.1 (MELCCFP, décembre 2015);
- Guide d'application du *Règlement sur l'assainissement de l'atmosphère* (RAA) – Chapitre Q-2, r.4.1 (MELCCFP, 2014);
- Normes et critères québécois de qualité de l'atmosphère (MELCCFP, version 9, 2025);
- AP-42 – *Compilation of Air Pollutant Emissions Factors from Stationary Sources*, Chapter 3.2 (United States Environmental Protection Agency (EPA), 2024);
- Étude d'impact sur l'environnement. *Projet de construction d'une ferme piscicole terrestre à Baie-Trinité*. AquaBoreal inc. (CIMA+, Version préliminaire, 2024);

- Note d'analyse du devis de modélisation. Direction principale de la qualité de l'air et du climat (DPQAC, mai 2025)). Présentée à l'annexe 1.

## 1.4 Révision du rapport de modélisation

À la suite des préoccupations exprimées par le ministère les 27 et 30 juin 2025, Groupe Alphard a effectué une révision de la modélisation et du rapport. Les éléments suivants ont été mis à jour:

1. Les taux d'émission de tous les polluants ;
2. Les données météorologiques ;
3. Les données topographiques.

Par ailleurs, afin de s'assurer que l'application fonctionne selon les paramètres définis par l'utilisateur, Groupe Alphard a réinstallé l'application, vidé le cache du fichier de paramétrage d'AERMOD et s'est assuré que la version la plus récente du modèle a été utilisée.

La version révisée du rapport inclut les changements suivants :

1. Taux d'émission des NOx : Mise à jour des taux pour les sources STK6, STK7 et STK8, basée sur la fiche technique obtenue pour les génératrices prévues être utilisées. Cette fiche précise le débit d'échappement, la température et le taux d'humidité des gaz d'échappement. Elle est disponible en annexe 2.
2. Les données du terrain ont été remplacées par des données LIDAR de 2013 (voir chapitre 8). Les élévations des sources, bâtiments et des récepteurs ont été ajustées pour correspondre aux relevés LIDAR de 2013.
3. Validation des modélisations : Groupe Alphard a validé les taux d'émission modélisés par la méthode multi-polluants (« multi-chemical ») et en utilisant la méthode de modélisation de contaminant unique dans l'interface principale d'AERMOD.
4. Annexes : La version révisée inclut, en pièces jointes, les fichiers numériques complets des modélisations réalisées.

## 2. Localisation

Le projet est situé sur la Côte-Nord, dans la municipalité de Baie-Trinité, qui fait partie de la municipalité régionale de comté (MRC) de Manicouagan. Il se développera le long de la route 138, sur le site d'une ancienne scierie devant faire l'objet d'une réhabilitation préalable, ainsi que sur un terrain vague non exploité. La superficie totale du terrain destiné à accueillir la future pisciculture est d'environ 33 hectares. Le site se trouve à l'intersection des territoires traditionnels (Nitassinan) de la Première Nation des Innus de Pessamit et de Takuikan Uashat mak Mani-Utenam. Les propriétés et infrastructures suivantes se trouvent au pourtour du site à l'étude :

- À l'ouest : des terrains boisés;
- Au nord : un cimetière et des terrains partiellement boisés;
- Au sud : des terrains boisés;
- À l'est : le site est bordé en partie par la route 138 et le fleuve Saint-Laurent se trouve à environ 450 m.

Le centroïde des sources est localisé aux coordonnées UTM (Nad83), Zone 19 suivantes : 625 375 m Est et 5 478 080 m Nord.

La figure 1 présente une vue aérienne de la région (la localisation du site est identifiée par un point rouge) avec l'environnement dans lequel elle est située.

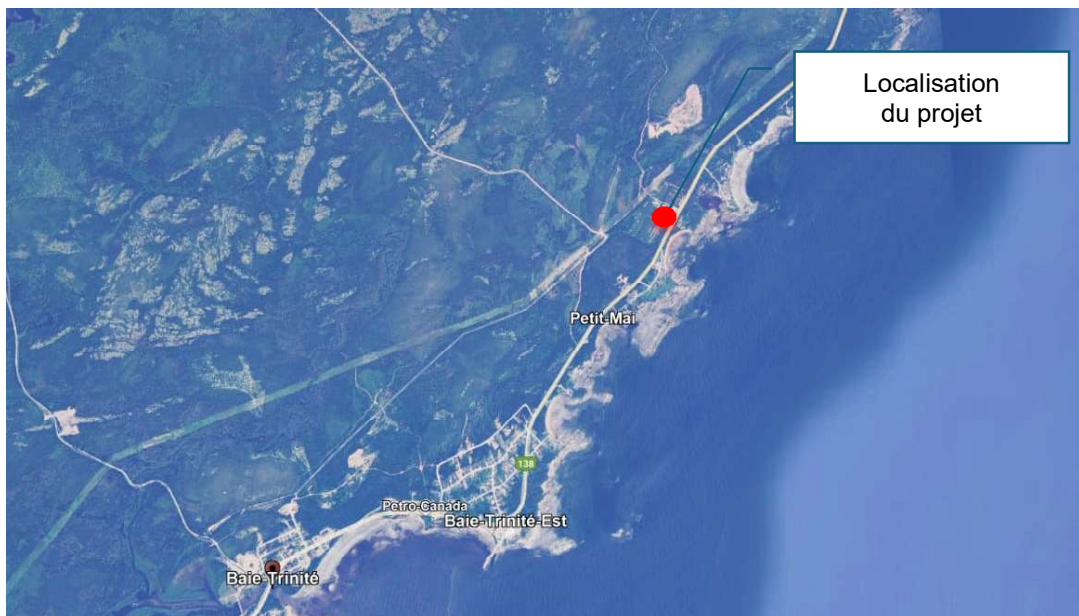


Figure 1 : Vue aérienne de la région  
(CNES/Airbus@2018)

Dans un rayon de 5 km autour du site, la majorité des superficies sont boisées ou agricoles. Le site est situé dans une zone agroforestière de type rural, avec très peu de résidences à proximité. La partie résidentielle de la zone se trouve au sud, à environ 2 km du projet, et présente une densité inférieure au seuil de 50 % indiqué dans le Guide de la modélisation de la dispersion atmosphérique (MDDEP, 2005).

### 3. Modèle utilisé

Le modèle *AERMOD* (dernière version 24142) a été utilisé à travers l'interface *AERMOD View* (version 13.0), développé par *Lakes Environmental*. Les options par défaut, c'est-à-dire « réglementaires », ont été appliquées.

Étant donné le type et la densité d'utilisation du sol à proximité du site, les coefficients de dispersion rurale d'*AERMOD* ont été appliqués sur l'ensemble des sources.

## 4. Considération des effets des bâtiments

Les bâtiments projetés d'AquaBoreal ont été intégrés dans le modèle. Les influences potentielles des bâtiments ont ainsi été considérées dans la modélisation. La modélisation de dispersion a simulé l'influence des structures des bâtiments avec le module *Building Profile Input Program* (BPIP, version Prime) développé par l'*Environmental Protection Agency* (EPA). Ce module fait partie de l'interface *AERMOD View*. La figure 2 présente la localisation approximative des bâtiments.



Figure 2 : Localisation approximative des bâtiments  
(image tirée du logiciel ISC-AERMOD View et Google Earth)

## 5. Informations sur les sources et scénarios de modélisation

### 5.1 Analyse des sources potentielles avoisinantes

La ferme piscicole constitue la principale source d'émissions atmosphériques de contaminants répertoriés dans les normes et critères québécois de qualité de l'atmosphère, notamment les composés liés au procédé d'éviscération, au traitement des eaux et aux particules générées par les activités de transport. En matière d'odeurs, des émissions supplémentaires pourraient s'ajouter à celles de la ferme piscicole à certaines périodes, en raison de la proximité du site, situé à moins de 600 m d'une zone côtière où les algues se décomposent lors des marées basses. Ces odeurs, principalement causées par la dégradation des algues, pourraient amplifier l'impact olfactif dans les environs, particulièrement en fonction de facteurs météorologiques tels que le vent ou l'humidité.

Dans le cadre de la modélisation de la dispersion atmosphérique actuelle, aucune source d'émissions d'odeurs environnantes n'a pas été prise en compte. Les émissions olfactives potentielles des environs sont largement attribuables aux marées basses, rendant leur occurrence imprévisible et leur quantification complexe dans le contexte de la modélisation de la dispersion atmosphérique associée au projet décrit dans ce rapport.

### 5.2 Scénario de modélisation

#### 5.2.1 Scénario considéré pour la modélisation

Les émissions de contaminants ont été modélisées en prenant en compte l'ensemble des sources identifiées après la finalisation de toutes les phases du projet.

Pour le calcul du taux d'émission des cheminées, le taux retenu correspondra au débit de ventilation maximal attribuable aux enceintes d'éviscération ainsi qu'aux bâtiments de traitement des eaux et des boues. Ce scénario d'opération a été modélisé afin d'évaluer le respect des normes et critères québécois de qualité de l'atmosphère (MELCCFP, version 9, 2025);

#### 5.2.2 Sources identifiées pour les activités projetées de la ferme piscicole : modélisation des H<sub>2</sub>S, odeurs, PM<sub>2,5</sub> et PST

Le tableau 2 présente les coordonnées UTM des sources ponctuelles ainsi que leurs caractéristiques techniques. Sur la base des informations fournies, huit (8) sources ponctuelles ont été identifiées, comprenant trois (3) cheminées associées aux enceintes d'éviscération des poissons, deux (2) cheminées du système de ventilation situées sur le toit du bâtiment de traitement des eaux et des boues, et trois (3) cheminées des équipements auxiliaires, chacune desservant trois (3) génératrices CG170B-20 (9 génératrices au total). Chaque groupe de trois (3) génératrices, d'une puissance nominale de 2 300 kW par unité et fonctionnant au gaz naturel, génère un flux d'échappement centralisé de 11,66 Nm<sup>3</sup>/s sous des conditions de combustion standards, rejeté par le biais d'une cheminée dédiée de 0,95 m de diamètre. Cette hypothèse a été retenue pour la modélisation des émissions atmosphériques. Toutes les sources ponctuelles ont une orientation verticale.

L'horaire des émissions a été ajusté à l'intérieur de l'application AERMOD afin de refléter le fonctionnement de la ferme piscicole et l'horaire de transport des intrants et sortants.

Tableau 2 : Coordonnées, caractéristiques et taux d'émission des sources ponctuelles

Activité	Source ID	Localisation (UTM WGS84 Zone 18)		Élévation (m)	Hauteur par rapport au sol (m)	Diamètre (m)	Température à la sortie (°C)	Vitesse à la sortie (m/s)	Taux d'émission	Polluant
		Est (m)	Nord (m)							
Système de traitement des eaux et des boues	STK1	625 373	5 478 243	12	13	0,85	15	18	1 532 UO/s	Odeurs
	STK2	625 348	5 478 189	12	13	0,85	15	18	1,07E-03 g/s	H <sub>2</sub> S
Ventilation associée aux enceintes d'éviscération des poissons	STK3	625 524	5 478 153	8	12	0,55	15	15	1,532 UO/s	Odeurs
	STK4	625 235	5 477 934	8	13	0,55	15	15	3,48E-04 g/s	H <sub>2</sub> S
	STK5	624 964	5 477 649	12	17	0,55	15	15	535 UO/s	Odeurs
	STK6	625 377	5 478 133	10	13	0,95	120	10,8	3,48E-04 g/s	H <sub>2</sub> S
Systèmes et équipements auxiliaires, génératrices d'urgence	STK7	625 425	5 478 086	10	13	0,95	120	10,8	1,79 g/s	NO <sub>x</sub> *
	STK8	625 116	5 477 797	12	17	0,95	120	10,8	3,67 g/s	CO
									5,08E-04 g/s	PM <sub>2,5</sub>
									0,07 g/s	PST
									1,79 g/s	NO <sub>x</sub> *
									3,67 g/s	CO
									5,08E-04 g/s	PM <sub>2,5</sub>
									0,07 g/s	PST
									1,79 g/s	NO <sub>x</sub> *
									3,67 g/s	CO
									5,08E-04 g/s	PM <sub>2,5</sub>
									0,07 g/s	PST

Note : Les élévations des cheminées et des bâtiments sont ajustées en fonction du nouveau modèle du terrain tiré du LIDAR 2013.

\* Selon les spécifications et le débit d'échappement => 250mg/Nm<sup>3</sup> NO<sub>x</sub>, PST et CO selon AP-42 chapitre 3,2, tableau 3.2-2.

Deux (2) sources linéaires volumiques, associées au transport des « intrants » et des « extrants », ont été considérées dans le cadre de l'étude. Le tableau 3 en présente les caractéristiques.

Tableau 3 : Coordonnées et caractéristiques des sources linéaires volumiques selon les scénarios de modélisation

Activité	Source ID	Distance (m. l.)	Élévation (m)	Hauteur émission (m)	Taux d'émission	Poluant
Transport des intrants et extrants	SLINE1	2 140	8	2,13	0,007 g/s	PM <sub>2,5</sub>
					0,26 g/s	PST
Transport des boues usées et résidus de l'éviscération	SLINE2	574	9	1,7	14,06 g/s	Odeurs
					9,80E-06 g/s	H <sub>2</sub> S

La figure 3 présente à titre d'exemple les paramètres saisis pour la source « SLINE2 ».

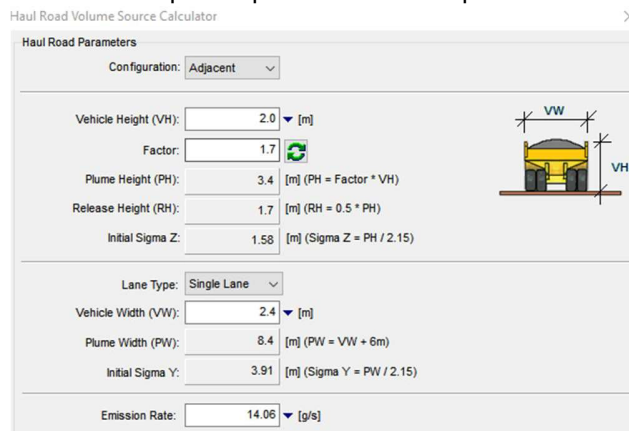


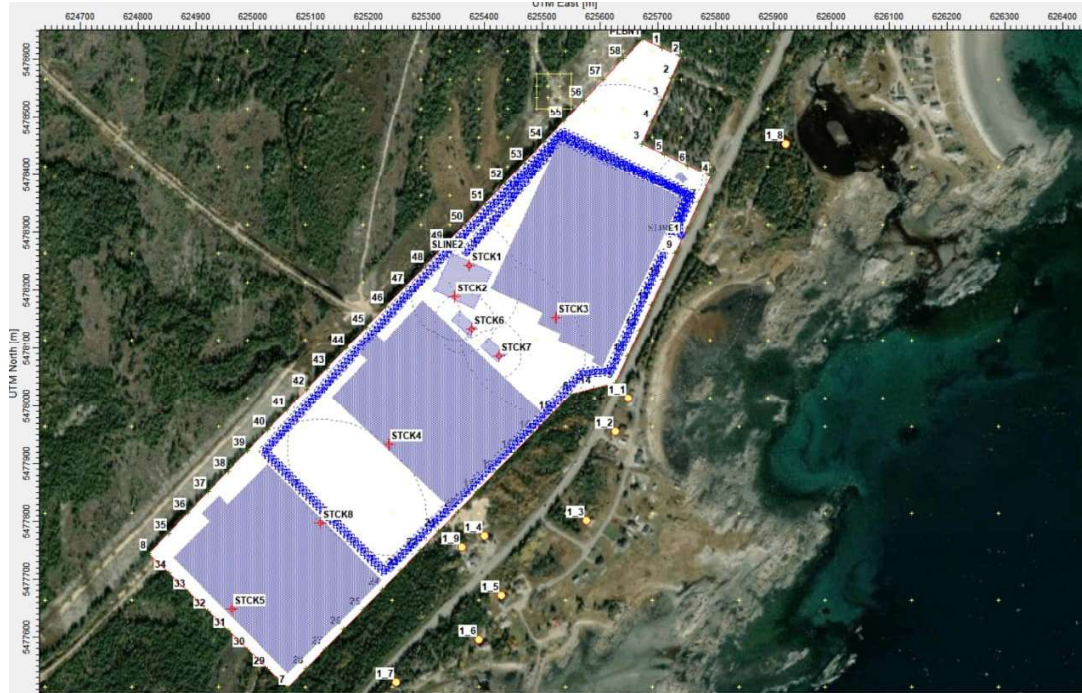
Figure 3 : Paramètres du Module «Haul Road» pour la source SLINE2  
(image tirée du logiciel ISC-AERMOD View )

Le tableau 4 présente la phase de construction associée à toutes les sources d'émission présentées aux tableaux 2 et 3.

Tableau 4 : Phase de construction associée aux sources d'émission

Source d'émission	Phase de construction
STK1	1
STK2	1
STK3	1
STK4	2a
STK5	2b
STK6	1
STK7	2a
STK8	2b
SLINE1	1
SLINE2	1

La figure 4 présente la localisation approximative des sources d'émission indiquées aux tableaux 2 et 3.



*Figure 4 : Localisation approximative des sources*

*(image tirée du logiciel ISC-AERMOD View)*

### 5.2.3 Taux d'émission pour la modélisation des particules PM<sub>2,5</sub> et PST

Les émissions de poussières (PM<sub>2,5</sub> et PST) sont le résultat des activités causées par le transport des matières et le passage des camions. Les camions, transportant des matières destinées aux opérations de production piscicole, sont dirigés vers les entrées des bâtiments, puis empruntent toujours le même chemin en sens contraire jusqu'à la sortie du site. Pour des fins de calculs, un tonnage journalier de 135 tonnes a été considéré en incluant toutes les activités de transport (tableau 3). Le détail des calculs est présenté à l'annexe 3. Les taux d'émission tiennent compte d'un programme régulier d'arrosage de la route intérieure, mis en place par le propriétaire de l'exploitation piscicole, notamment durant les journées sèches de l'été, permettant une atténuation d'au moins 25 % des émissions de particules.

Le calcul des taux d'émission des génératrices a été réalisé à partir de l'AP-42. Basé sur les caractéristiques des génératrices d'urgence et des facteurs d'émission du chapitre 3.2, des taux d'émission ont été calculés. Le détail des calculs est présenté à l'annexe 4 du présent rapport.

L'horaire des émissions sera ajusté à l'intérieur de l'application AERMOD selon le détail présenté au tableau 5. Le but est de répondre adéquatement au fonctionnement de la ferme piscicole. Les corrections associées aux données pluviométriques annuelles ont été supprimées des équations pour le calcul des taux d'émission pour les routes non revêtues.

Tableau 5 : Horaire d'émissions pour les sources émettrices de particules PM<sub>2,5</sub> et PST

Source ID	Période (h / jour)	Période (jour / sem)	Horaire d'émission	Décembre à mars inclusivement*	Avril à novembre inclusivement**
SLINE1	10	7	7h00-16h59:59	1	1
STK6	10	7	7h00-16h59:59	1	1
STK7	10	7	7h00-16h59:59	1	1
STK8	10	7	7h00-16h59:59	1	1

\* 0 = émissions nulles  
\*\* 1 = émissions à 100 %

## 5.2.4 Horaire et taux d'émission pour la modélisation des odeurs et du H<sub>2</sub>S

Les émissions des odeurs sont le résultat des activités de transport des résidus résultant des activités d'élevage piscicole et de traitement des eaux. On considère également la ventilation du bâtiment de traitement des eaux et des enceintes d'éviscération tout en tenant compte de la mise en place des trois (3) systèmes de traitement de l'air par procédé chimique et biologique pour les bâtiments d'éviscération. Un taux d'efficacité conservateur de 90 % a été considéré pour le système de filtration qui sera mis en place.

Pour la source SLINE2, l'horaire des émissions a été ajusté à l'intérieur de l'application *AERMOD* pour refléter un fonctionnement de 7 jours sur 7, 24 heures sur 24, 365 jours par année.

En ce qui a trait à la ventilation du bâtiment de traitement des eaux et des boues (STK1 et STK2), un horaire de 7 jours sur 7, 24 heures sur 24 et 365 jours par année a été pris en compte.

Pour la ventilation associée aux enceintes d'éviscération des poissons (STK3, STK4 et STK5), un horaire de 7 jours sur 7, 24 heures sur 24 et 365 jours par année a été pris en compte.

Le but de ces horaires est de considérer un scénario conservateur.

### 5.2.4.1 Émissions d'odeurs potentielles

Dans les installations aquacoles, diverses substances odorantes peuvent être émises en fonction des conditions de gestion, de l'aération, de la charge organique et de l'état des boues. Les principaux composés responsables des odeurs sont les suivants :

- Ammoniac (NH<sub>3</sub>) : Issu de la dégradation des protéines et des excréptions des poissons, il est détectable dès 0,04 ppm, avec des concentrations variant de 0,1 à 30 ppm pour une perception olfactive offensive. Il génère une odeur piquante et irritante;
- Sulfure d'hydrogène (H<sub>2</sub>S) : Produit dans les zones anaérobies, notamment dans les boues accumulées, il est perceptible dès 0,0005 ppm et dégage une odeur d'œuf pourri. Les concentrations peuvent atteindre 0,75 ppm pour une dose maximale de perception olfactive offensive;
- Géosmine (GSM) et 2-Méthylisobornéol (2-MIB) : Produits par des cyanobactéries ou actinomycètes, ces composés causent des odeurs de terre ou de moisi, détectables à des concentrations de 1 à 10 ng/L.

La perception des odeurs varie selon la sensibilité humaine et la concentration des composés par rapport à leurs seuils olfactifs. Pour minimiser ces émissions, une gestion rigoureuse des installations aquacoles est cruciale, incluant le contrôle de l'aération et de la qualité de l'eau.

## 5.2.4.2 Émissions d'odeurs retenues

La détection et l'identification des odeurs par les êtres humains dépendent de plusieurs facteurs, notamment la concentration des substances odorantes, la nature des odeurs et la sensibilité individuelle. En présence de deux (2) ou plusieurs sources d'odeurs, il est souvent difficile pour l'humain de distinguer la source la moins nuisible. Par conséquent, la perception olfactive est dominée par l'émetteur présentant la concentration odorante la plus élevée.

Ainsi, dans la plupart des cas, une odeur intense et désagréable domine la perception humaine. Par conséquent, l'évaluation précise du taux d'émission des odeurs en présence de plusieurs sources avec des niveaux de nuisance olfactive différents devient relative. Pour éviter cette relativité dans les calculs et adopter un scénario d'émission d'odeurs conservateur, la concentration d'odeurs élevée retenue est associée aux procédés d'éviscération et au traitement des eaux dans une ferme piscicole. Cette concentration est basée sur le H<sub>2</sub>S, qui, à une concentration très offensive de 0,75 ppm<sup>1</sup>, correspond à 1 500 UO/m<sup>3</sup>. Pour les besoins de cette étude, il a été considéré qu'une unité d'odeur (1 UO) équivaut à une concentration de 0,0005 ppm de H<sub>2</sub>S. Le H<sub>2</sub>S est choisi comme composé de référence pour l'évaluation des odeurs dans le cadre de ce projet en raison de :

- Prévalence : Il est produit en quantités significatives par la décomposition anaérobique des boues et effluents, courante dans les procédés piscicoles;
- Seuil olfactif bas : Déetectable dès 0,0005 ppm<sup>2</sup> (1 UO), son odeur d'œuf pourri est perçue à très faible concentration, contrairement à l'ammoniac (seuil à 5 ppm) ou à la géosmine (odeur moins nuisible);
- Approche conservatrice : La concentration de 0,75 ppm (1 500 UO/m<sup>3</sup>) surestime l'impact olfactif, couvrant indirectement les contributions d'autres composés (NH<sub>3</sub>, géosmine, COV).

Le choix d'une concentration de 0,75 ppm (1 500 UO/m<sup>3</sup>) permet une évaluation du pire scénario des nuisances olfactives, intégrant indirectement les contributions d'autres composés (NH<sub>3</sub>, géosmine, COV) par une approche conservatrice. Avec un taux de changement d'air à l'heure (2 CH) dans les bâtiments, une concentration bien en dessous sera en tout temps maintenue, respectant ainsi les recommandations de l'*American Conference of Governmental Industrial Hygienists* (ACGIH), soit une valeur limite seuil (TLV) de 1 ppm sur 8 heures.

## 5.2.4.3 Taux d'émission d'odeurs et H<sub>2</sub>S

Pour la source linéaire volumique SLINE2, une benne de camion de 5 m x 2,5 m a été considérée. La bâche qui recouvre la benne n'étant pas fixée de manière parfaitement étanche, des hypothèses ont donc été émises quant à la surface qui permet des émissions fugitives. À partir de cette surface, de la concentration initiale des odeurs et d'une vitesse d'éjection en condition naturelle d'un camion en mouvement, un taux d'émission de 14,06 UO/s a été calculé. À une température moyenne de 25 °C et une pression atmosphérique de 1 atm, le taux moyen d'émission de H<sub>2</sub>S est estimé à 9,80E-06 g/s. Le détail des calculs est présenté à l'annexe 5.

Pour les sources fixes, l'analyse repose sur l'hypothèse d'une concentration initiale de 0,75 ppm pour le H<sub>2</sub>S et de 1 500 UO/m<sup>3</sup> pour les odeurs, en tenant compte du taux de renouvellement d'air de deux (2) changements d'air par heure (CAH) durant les quatre (4) premières minutes, correspondant à un scénario pessimiste.

Dans le cadre de l'évaluation des émissions potentielles du H<sub>2</sub>S et d'odeurs associées à un système de ventilation industriel, un débit d'extraction de 10,2 m<sup>3</sup>/s a été retenu pour les cheminées STK1 et STK2.

<sup>1</sup> Consultation en ligne : <https://www.ncbi.nlm.nih.gov/books/NBK208170/table/ttt00078/?report=objectonly>

<sup>2</sup> Répertoire toxicologique - CNESST.

Les concentrations ont été calculées selon une décroissance exponentielle en raison du fonctionnement du système de ventilation. Pour les deux (2) sources, à une température moyenne de 25 °C et une pression atmosphérique de 1 atm, le taux moyen d'émission de H<sub>2</sub>S est estimé à 1,07E-02 g/s avant traitement. Après traitement par biofiltration, avec une efficacité estimée à 90 %, ce débit est réduit à 1,07E-03 g/s. Pour les odeurs, le débit est évalué à 15 320 UO/s avant traitement et à 1 532 UO/s après biofiltration (tableau 2). Le détail des calculs est présenté à l'annexe 6.

Pour les cheminées STK3, STK4 et STK5, l'évaluation des émissions potentielles du H<sub>2</sub>S et d'odeurs associées à leur système de ventilation industriel, un débit d'extraction de 3,56 m<sup>3</sup>/s a été retenu. Les concentrations ont été calculées en suivant la même procédure que pour les sources STK1 et STK2. Pour les trois (3) sources, à une température de 25 °C et une pression atmosphérique de 1 atm, le taux moyen d'émission de H<sub>2</sub>S est estimé à 3,72E-03 g/s avant traitement. Après traitement par biofiltration, avec une efficacité estimée à 90 %, ce débit est réduit à 3,72E-04 g/s. Pour les odeurs, le débit est évalué à 5 350 UO/s avant traitement et à 535 UO/s après biofiltration (tableau 2). Le détail des calculs est présenté à l'annexe 7.

## 5.2.5 Taux d'émission pour la modélisation des NO<sub>x</sub> et du CO

Le calcul du taux d'émission des NO<sub>x</sub> a été réalisé selon les spécifications de la fiche technique de l'équipement, tandis que celui du CO a été réalisé à partir de l'AP-42. À partir des caractéristiques des génératrices d'urgence et des facteurs d'émission du chapitre 3.2, des taux d'émission ont été calculés. Le détail des calculs est présenté à l'annexe 4.

Pour les sources STK6 à STK8, l'horaire des émissions sera ajusté à l'intérieur de l'application *AERMOD* pour refléter un fonctionnement de 7 jours sur 7, 10 heures sur 24 entre 7 h et 16h59:59, 365 jours par année. Le but est de répondre au bon fonctionnement de la ferme piscicole.

## 6. Informations sur les contaminants

Le tableau 6 présente les contaminants à l'étude ainsi que les normes, critères et concentrations initiales associés aux *Normes et critères québécois de qualité de l'atmosphère* (version 9). Les normes ou critères ont été comparés aux sorties des résultats de la modélisation, ainsi qu'aux concentrations initiales, pour la même moyenne de temps (4 minutes, 1 heure, 8 heures, 24 heures et 1 an).

Tableau 6 : Contaminants modélisés, normes et critères québécois de qualité de l'atmosphère applicable (MELCCFP, version 9, 2025)

N°CAS	Nom	Date de révision	Type de valeur référencée	Période	Valeur limite ( $\mu\text{g}/\text{m}^3$ )	Concentration initiale ( $\mu\text{g}/\text{m}^3$ )
630-08-0	Carbone, monoxyde de	1979	Norme	1 h	34 000	2 650
630-08-0	Carbone, monoxyde de	1979	Norme	8 h	12 700	1 750
7783-06-4	Hydrogène, sulfure d'	2011	Norme	4 min	6	0
7783-06-4	Hydrogène, sulfure d'	2011	Norme	1 an	2	0
10102-44-0	Azote, dioxyde d'	1979	Norme	1 h	414	150
10102-44-0	Azote, dioxyde d'	1979	Norme	24 h	207	100
10102-44-0	Azote, dioxyde d'	1979	Norme	1 an	103	30
PM <sub>2,5</sub>	Particules fines (PM <sub>2,5</sub> )	2011	Norme	24 h	30	20
PST	Particules totales	2011	Norme	24 h	120	90
-	Odeurs, 96 <sup>e</sup> centile (V9)	2025	-	1 h	1 UO	-
-	Odeurs, 99,5 <sup>e</sup> centile (V9)	2025	-	1 h	5 UO	-

## 7. Domaine de modélisation, récepteurs et limite d'application des normes et critères

À la figure 4, une grille de récepteurs (en nombre de 947) identifiés par des croix jaunes et couvrant la région de 10 km (est-ouest) sur 10 km (nord-sud) déterminée à partir du centroïde des sources, a été utilisée pour couvrir le domaine à l'étude et évaluer les impacts. La limite d'application des normes et critères a été définie dans AERMOD à partir de la zone I-32, en s'appuyant sur une interprétation réalisée à partir d'une image. En l'absence d'un fichier vectoriel (\*.shp ou AutoCAD), cette limite a été interprétée de manière conservatrice. De plus, la délimitation des phases de construction a été établie avec le même objectif, à savoir minimiser la surface occupée par le projet afin d'appliquer les normes de manière plus contraignante pour l'initiateur.

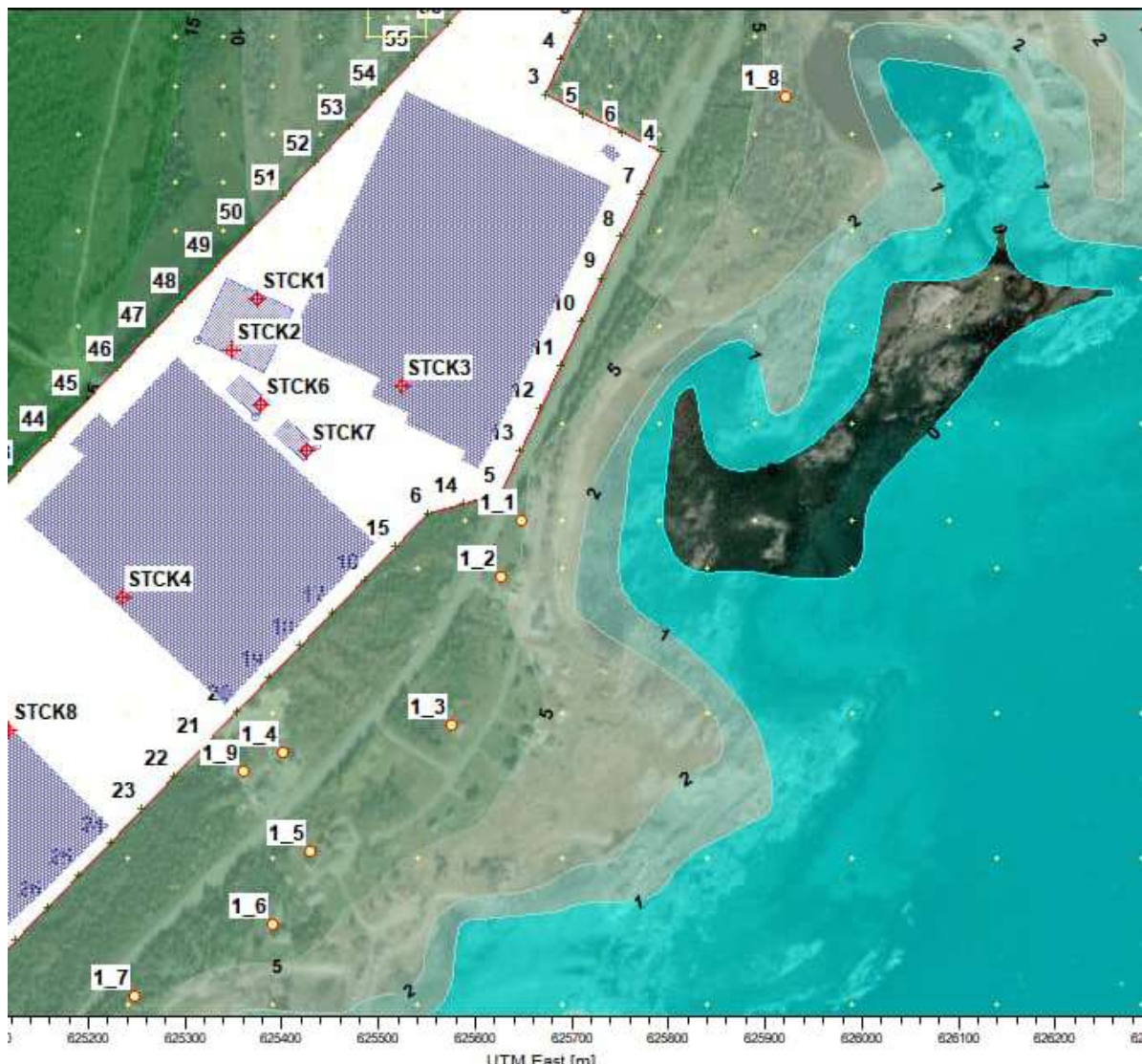


Figure 5 : Vue des récepteurs couvrant la zone

(image tirée du logiciel ISC-AERMOD View)

Le tableau 7 présente le maillage utilisé.

Tableau 7 : Maillage de la grille réceptrice

Distance à partir du centroïde des sources	Maillage (distance entre 2 récepteurs)
De la source à 200 m	50 m
200 à 500 m	100 m
500 à 1 000 m	150 m
1 000 à 2 000 m	250 m
2 000 à 5 000 m	500 m

Cinquante-huit (58) récepteurs discrets et sensibles ont également été positionnés sur la limite d'exploitation de l'usine et aux 50 m d'intervalle sur cette limite.

Au total, huit (9) récepteurs sensibles ont été placés sur le domaine de modélisation. Les récepteurs, situés à proximité du site, représentent des habitations résidentielles. Leur emplacement a été sélectionné en considérant leur distance par rapport au site ainsi que la couverture de toutes les directions de la zone habitée à la périphérie du site. Le tableau 8 présente l'emplacement de chacun des récepteurs sensibles.

Tableau 8 : Récepteurs sensibles discrets identifiés à proximité

Identification	X (m)	Y (m)	Description
R1 (1_1)	625 648	5 478 014	Résidence – route 138
R2 (1_2)	625 626	5 477 955	Résidence – route 138
R3 (1_3)	625 576	5 477 802	Résidence – route 138
R4 (1_4)	625 400	5 477 775	Résidence – route 138
R5 (1_5)	625 429	5 477 672	Résidence – route 138
R6 (1_6)	625 391	5 477 596	Résidence – route 138
R7 (1_7)	625 247	5 477 522	Résidence – route 138
R8 (1_8)	625 921	5 478 453	Résidence – route 138
R9 (1_9)	625 361	5 477 755	Résidence – route 138

## 8. Topographie

La topographie d'un terrain peut affecter la dispersion atmosphérique. Les dénivellations du terrain dans la zone à l'étude sont supérieures à 10 m et doivent être incorporées dans le modèle. La figure 5 présente la topographie de la région à l'étude.

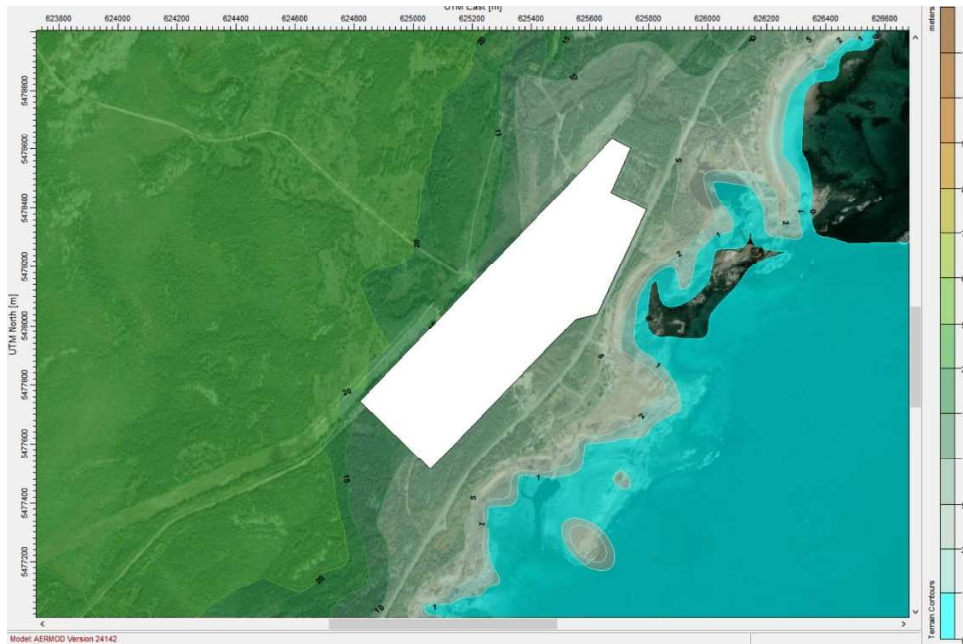


Figure 6 : Topographie considérée dans la modélisation  
(image tirée du logiciel ISC-AERMOD View)

Les données topographiques constituent les intrants pour le préprocesseur *AERMAP* qui est intégré à l'interface *AERMOD View*. De plus, l'élévation du terrain de chacune des sources, des bâtiments et des récepteurs de la zone à l'étude est automatiquement assignée par *AERMAP*.

Les données d'élévation numérique utilisées dans la version initiale provenaient de Ressources naturelles Canada (DNÉC). Elles ont été extraites des éléments hypsographiques et hydrographiques de la Base nationale de données topographiques (BNDT) à l'échelle de 1/50 000. À la suite d'une analyse détaillée, nous avons constaté des éléments de relief contradictoires (par exemple, une élévation de 20 m entrecouplant le site à l'étude). Après analyse des données LIDAR 2013 fournies par le portail « Forêt ouverte » de diffusion des données écoforestières du gouvernement du Québec, nous avons déterminé que le modèle du terrain ne répondait pas aux besoins du projet. En conséquence, nous avons remplacé le modèle numérique du terrain par celui mis à la disposition des utilisateurs par le gouvernement du Québec. Les données géomatiques ont été converties dans le système de référence planimétrique nord-américain de 1983 (NAD83). Le système canadien de référence altimétrique utilisé est celui de 1928 (CGVD28).

## 9. Météorologie

Les données météorologiques sont fournies par *Airmet Science* et couvrent la période du 1<sup>er</sup> janvier 2016 à 00h00 au 31 décembre 2020 à 23h00. Les caractéristiques des données pour la météorologie sont décrites dans le rapport « Données météorologiques – Baie-Comeau » d'*Airmet Science*, présenté à l'annexe 8 :

- Localisation : Aéroport de Baie-Comeau (YBC); pour les données de surface et aérologiques de la station de Sept Iles (YZV);
- Élevation de base : 22,00 m au-dessus du niveau de la mer pour la station météo de l'aéroport de Baie Comeau;
- Fuseau horaire : UTC-0500 (heure locale).

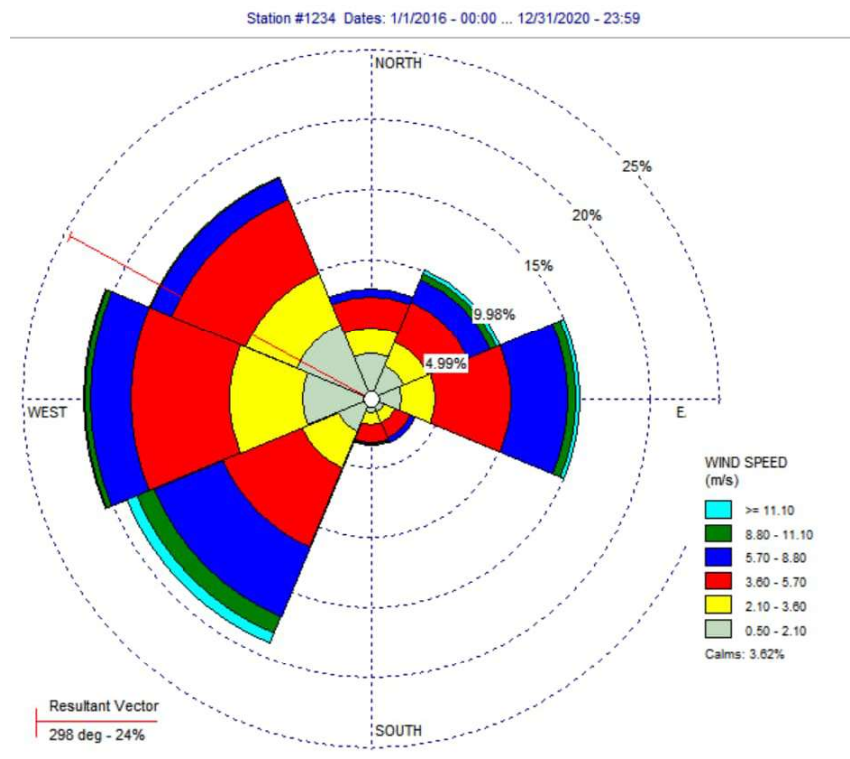


Figure 7 : Rose des vents, aéroport de Baie Comeau  
(image tirée du Rapport d'*Airmet Science*)

## 10. Résultats de la modélisation de dispersion atmosphérique

Tous les résultats de la modélisation de dispersion atmosphérique sont présentés à l'annexe 9.

### 10.1 Résultats de la modélisation des particules PM<sub>2,5</sub>, PST, CO et NO<sub>x</sub>

Les résultats de la dispersion des PM<sub>2,5</sub> et PST démontrent que les activités liées au transport des matières et à l'opération des équipements auxiliaires sont sous les seuils indiqués par les normes et critères québécois de qualité de l'atmosphère au niveau de la limite de la zone industrielle et sur l'ensemble des récepteurs sensibles. Le tableau 9 présente les résultats maximums à la limite de la zone industrielle.

Tableau 9 : Résultats de la dispersion des PM<sub>2,5</sub> et PST

N° CAS	Composé	Date de rév.	Type de valeur de réf.	VL 24 h ( $\mu\text{g} / \text{m}^3$ )	CI 24 h ( $\mu\text{g} / \text{m}^3$ )	Rmax. 24 h ( $\mu\text{g} / \text{m}^3$ )	Rmax. = (R+CI)/VL (%)
PM <sub>2,5</sub>	Particules fines	2011	Norme	30	20	0,72	69 %
PST	Particules totales	2011	Norme	120	90	26,93	97 %

Les résultats de la dispersion des CO et des NO<sub>x</sub> démontrent que les activités liées à l'opération des équipements auxiliaires sont sous les seuils indiqués par les normes et critères québécois de qualité de l'atmosphère au niveau de la limite de la zone industrielle et sur l'ensemble des récepteurs sensibles. Le tableau 10 présente les résultats maximums à la limite de la zone industrielle.

Tableau 10 : Résultats de la dispersion des CO et NO<sub>x</sub>

N°CAS	Nom	Réf.	Période	VL ( $\mu\text{g}/\text{m}^3$ )	CI ( $\mu\text{g}/\text{m}^3$ )	Rmax. ( $\mu\text{g}/\text{m}^3$ )	Rmax. (%)	Observation
630-08-0	Carbone, monoxyde de	Norme	1 h	34 000	2 650	789,27	10 %	-
630-08-0	Carbone, monoxyde de	Norme	8 h	12 700	1 750	455,75	17 %	-
10102-44-0	Azote, dioxyde d'	Norme	1 h	414	43	394,41	106 %	Méthode NO <sub>x</sub> = NO <sub>2</sub>
10102-44-0	Azote, dioxyde d'	Norme	24 h	207	28	78,82	52 %	Méthode NO <sub>x</sub> = NO <sub>2</sub>
10102-44-0	Azote, dioxyde d'	Norme	1 an	103	9	7,03	16 %	Méthode NO <sub>x</sub> = NO <sub>2</sub>
10102-44-0	Azote, dioxyde d'	Norme	1 h	414	43	264,29	74 %	Méthode OLM

## 10.2 Résultats de la modélisation des odeurs et du H<sub>2</sub>S

Les résultats de la dispersion démontrent que les activités liées au système de traitement des eaux et à la ventilation dans les enceintes d'éviscération des poissons sont sous les seuils indiqués par les normes et critères québécois de qualité de l'atmosphère au niveau de la limite de la zone industrielle et sur l'ensemble des récepteurs sensibles. Le tableau 11 présente les résultats maximums à la limite de la zone industrielle.

Tableau 11 : Résultats de la dispersion des odeurs et du H<sub>2</sub>S

N°CAS	Nom	Réf.	Période	VL (µg/m <sup>3</sup> )	CI (µg/m <sup>3</sup> )	Rmax. (µg/m <sup>3</sup> )	Rmax. (%)
-	Odeurs, 96 <sup>e</sup> centile	-	1 h	1	-	0,41	41 %
-	Odeurs, 99,5 <sup>e</sup> centile	-	1 h	5	-	0,61	12 %
7783-06-4	Hydrogène, sulfure d'	Norme	4 min	6	0	1,21	20 %
7783-06-4	Hydrogène, sulfure d'	Norme	1 an	2	0	0,10	5 %

## 11. Conclusion et recommandations

La modélisation révisée a été réalisée selon un scénario conservateur dans lequel les trois (3) phases du projet sont entièrement opérationnelles et toutes les activités se déroulent simultanément. Cette modélisation repose sur l'hypothèse d'une concentration de 0,75 ppm de H<sub>2</sub>S, considérée comme agressive, aux fins de calcul des émissions d'odeurs et de sulfure d'hydrogène.

Les résultats montrent que les concentrations d'odeurs et de H<sub>2</sub>S sont au minimum trois (3) fois inférieures aux seuils établis par les normes québécoises de la qualité de l'air. Il est important de noter que la modélisation ne tient pas compte du renouvellement de l'air à un taux de deux (2) changements par heure dans les enceintes d'éviscération des poissons et dans le bâtiment de traitement des eaux. Ce renouvellement, équivalant à un remplacement complet de l'air intérieur deux (2) fois par heure, permet de réduire considérablement les concentrations de H<sub>2</sub>S et d'odeurs. Par exemple, une concentration initiale de 0,75 ppm pourrait être diluée à environ 0,1 à 0,2 ppm, voire moins, avant même l'entrée dans le système de traitement de l'air par biofiltration, selon les débits d'air et les conditions de ventilation. Ces niveaux sont nettement inférieurs à 0,75 ppm, éliminant ainsi les risques de nuisances liées aux odeurs agressives. La ventilation continue dans les installations d'éviscération et de traitement des eaux joue donc un rôle clé en empêchant l'accumulation d'air contaminé et en assurant un traitement constant de l'air. En pratique, les concentrations réelles de H<sub>2</sub>S et d'odeurs seront probablement bien inférieures aux valeurs modélisées, renforçant la conformité aux normes québécoises et éliminant les impacts olfactifs pour les récepteurs situés à proximité du projet piscicole.

Afin de contrôler adéquatement les émissions de H<sub>2</sub>S, il est recommandé d'installer des appareils d'analyse de H<sub>2</sub>S portables dans les enceintes d'éviscération et dans le bâtiment de traitement des eaux. L'équipement permet de détecter des concentrations de H<sub>2</sub>S entre 0 et 1 ppm, avec une précision de 0,001 ppm ± 2 %, ce qui est suffisant pour les besoins d'AquaBoreal. La fiche technique de l'appareil est disponible à l'annexe 10. Si les concentrations de H<sub>2</sub>S excèdent les seuils permis, AquaBoreal pourra déclencher des mesures de mitigation, qui seront déterminées dans le cadre du processus de demande d'autorisation environnementale.

En ce qui concerne les PM<sub>2,5</sub>, les PST et le CO, les concentrations maximales mesurées sont inférieures aux normes en vigueur, garantissant ainsi une conformité significative.

Pour les concentrations de dioxyde d'azote (NO<sub>2</sub>), une première analyse a révélé un léger dépassement des normes horaires lorsque les concentrations de NO<sub>2</sub> sont assimilées aux NO<sub>x</sub>. Cependant, pour les autres périodes, en adoptant la même approche, les concentrations maximales ne dépassent les normes les critères, en tenant compte des concentrations initiales de NO<sub>2</sub> fournies par le MELCCFP dans sa note d'analyse du devis de modélisation (voir annexe 1). Pour la période horaire, une modélisation utilisant la méthode OLM, telle que recommandée par le MELCCFP, a été réalisée. Les résultats montrent que les concentrations maximales de NO<sub>2</sub> respectent les normes et critères de qualité de l'air.

Il est toutefois important de noter que les génératrices, principales sources d'émissions de NO<sub>x</sub>, sont prévues pour fonctionner uniquement en situation d'urgence, pour un maximum de 300 heures par an. Par conséquent, le scénario modélisé surestime considérablement les émissions réelles.

Pour les récepteurs sensibles situés à proximité, aucun dépassement des seuils réglementaires n'a été observé. Les concentrations maximales, relevées à la limite de la zone industrielle et de la future limite de propriété du projet, demeurent largement en deçà des seuils permis, confirmant l'absence d'impact significatif sur les zones avoisinantes.

Dans un souci de transparence et de bonne communication avec les résidences avoisinantes, il est recommandé de réaliser une campagne de caractérisation de l'air ambiant à la suite de la phase I du projet.

Cette campagne visera à mesurer les concentrations d'odeurs et de sulfure d'hydrogène ( $H_2S$ ), afin de valider les résultats de modélisation et de rassurer les parties prenantes quant à la qualité de l'air. Par ailleurs, la mise en place d'un registre des plaintes liées aux odeurs est également recommandée afin de documenter les perceptions du voisinage et d'assurer un suivi rigoureux des préoccupations exprimées.

Finalement, un programme d'arrosage journalier de la route non revêtue intérieure devra être instauré, particulièrement durant les périodes sèches de l'été, afin de limiter les émissions de poussières et de particules fines, contribuant ainsi à la qualité de l'air et au confort des riverains.

---

Annexe 1      Note d'analyse du devis de modélisation de la  
DPQAC

**DESTINATAIRE :** Madame Nathalie La Violette  
Direction principale de la qualité de l'air et du climat

**EXPÉDITEUR :** Michel Lavoie

**DATE :** Le 23 mai 2025

**OBJET :** Validation du devis de modélisation pour le projet d'AquaBoréal à Baie-Trinité  
*N/Réf. : DPQAC-20196*  
*Réf du demandeur : 3211-15-022*

---

## **CONTEXTE DE LA DEMANDE**

Dans le cadre de la procédure d'évaluation et d'examen des impacts sur l'environnement (PÉEIE) du projet de construction de la pisciculture d'AquaBoréal à Baie-Trinité, la Direction principale de la qualité de l'air et du climat (DPQAC) a reçu, le 13 mai 2025, pour validation un devis de modélisation de la dispersion atmosphérique des contaminants [1]. Ce document, préparé par la firme Groupe Alphard, présente la méthodologie proposée, ainsi que les hypothèses de modélisation employées pour effectuer l'étude de dispersion.

La DPQAC a pris connaissance du devis de modélisation. Étant donné son domaine d'expertise, le présent avis ne porte que sur la modélisation de la dispersion atmosphérique et la qualité de l'air ambiant. Il importe de souligner que la validité des résultats de l'étude de dispersion atmosphérique ne sera assurée que si toutes les sources d'émission ont été prises en compte et que les taux d'émission de ces différentes sources correspondent aux émissions réelles lors de l'exploitation de la pisciculture. Ces informations, ainsi que la liste des contaminants à modéliser, feront également l'objet d'un avis de la part de la Direction des politiques de l'atmosphère.

...2

## ANALYSE DU DEVIS

D'entrée de jeu, il est important de mentionner que plusieurs éléments du devis devront être ajustés lors de la préparation du rapport de modélisation, notamment au niveau du scénario de modélisation, de la définition des sources d'émission, du choix des données météorologiques, de la modélisation du dioxyde d'azote, de la limite d'application des normes et critères de qualité de l'atmosphère, des récepteurs sensibles et des critères de qualité de l'atmosphère. De plus, plusieurs éléments ne sont pas abordés dans le devis, il est donc possible que des questions d'ordre méthodologiques soient posées lors de l'analyse de la modélisation. La méthodologie de la modélisation doit être bonifiée et corrigée en suivant les points relevés dans le présent avis.

### *Scénario de modélisation*

Le scénario de modélisation présenté dans le devis est incomplet. En effet, la source d'émission reliée au routage (SLINE1) et les sources ARLN1 et ARLN2 de transport de matières odorantes émettent à l'atmosphère dans le modèle 5 jours sur 7, 10 heures par jour, sans spécifier les heures précises d'émission ni les mois de l'année où ces sources sont en fonction. Pour ce qui est des sources d'émission de la ventilation du bâtiment de traitement des eaux (STK1 et STK2), celles-ci sont actives 7 jours sur 7, 24 heures par jour, sans mentionner la période de l'année où elles sont en fonction. Les horaires d'activités de l'ensemble des autres sources du modèle (STK3 à STK8) ne sont pas précisés dans le devis. Dans le rapport de modélisation, afin de tenir compte de l'ensemble des conditions météorologiques pouvant se produire, les sources d'émission devront être considérées comme actives selon l'horaire journalier maximal d'opération de l'usine, et ce, tous les jours de la semaine (7 jours sur 7) pendant l'ensemble de la période de l'année où l'usine est en fonction incluant les jours fériés et les vacances. Ces horaires d'activité devront être clairement mentionnés pour chacune des sources d'émission du modèle.

### *Définition des sources*

La description de la source linéaire volumique (nommée SLINE1) pour modéliser le routage au tableau 3 du devis incluant l'élévation, la longueur et la hauteur d'émission est trop sommaire. Le rapport devra se baser sur le document du *Haul Road Workgroup* [2] et fournir, notamment, le calcul des dimensions initiales horizontales et verticales, de même que de la hauteur d'émission. Étant donné que les routes sur le site du projet sont situées à proximité de la limite d'application des normes et critères de qualité de l'atmosphère, des sources volumiques linéaires adjacentes devront être utilisées dans le rapport pour modéliser les émissions de particules associées au routage. De plus, les sources d'émission d'odeurs reliées au transport par camions des boues (nommées ARLN1 et ARLN2) seraient de type surfaciques et localisées en 2 endroits différents d'après le tableau 3 et la figure 4 du devis sans considérer les émissions sur l'ensemble du trajet. Dans le rapport de modélisation, les émissions d'odeurs des sources ARLN1 et ARLN2 devront être modélisées en utilisant des sources linéaires volumiques de façon analogue aux émissions de particules reliées au routage.

### *Choix des données météorologiques*

L'initiateur prévoit utiliser les données météorologiques de surface obtenues à l'aide du modèle à méso-échelle WRF (*Weather Research and Forecasting Model*). Toutefois, des données d'observations météorologiques de surface à la station de Baie-Comeau d'Environnement et Changement climatique Canada (ECCC), qui est située à proximité du fleuve Saint-Laurent et à environ 75 kilomètres du site d'étude, sont disponibles. Celles-ci sont jugées plus représentatives que les données météorologiques modélisées proposées. Ainsi, lors de la modélisation, l'initiateur devra utiliser les données de surface de la station de Baie-Comeau en sélectionnant 5 années d'observations météorologiques récentes respectant une limite de 1 % d'heures manquantes.

L'interpolation effectuée pour obtenir 1 % d'heures manquantes ou moins devrait être limitée aux options offertes par AERMET, c'est-à-dire une interpolation linéaire sur 2 heures ou moins de la température et de la couverture nuageuse. L'interpolation sur d'autres variables météorologiques ou sur une période plus longue n'est pas recommandée. L'initiateur pourra utiliser la couverture nuageuse de la station de Baie-Comeau d'ECCC et les sondages aérologiques devront provenir de la station de Sept-Îles. Il devra également calculer les caractéristiques de surface (longueur de rugosité, rapport de Bowen et albédo) afin de produire l'échantillon de données météorologiques pour le modèle.

#### *Modélisation des concentrations de dioxyde d'azote ( $NO_2$ )*

L'initiateur n'a pas indiqué le nom de la méthode utilisée pour modéliser les concentrations de  $NO_2$  dans le devis de modélisation. Dans le rapport de modélisation, si des dépassements des normes sont modélisés en considérant la conversion totale, la méthode de la limite en ozone (OLM) pourra être employée. La méthode et les options utilisées devront cependant être spécifiées par l'initiateur pour permettre l'analyse du dossier, notamment le rapport initial  $NO_2/NO_x$  (« in stack ratio »). En l'absence d'information spécifique aux sources du projet, un rapport initial de 0,5 est accepté par défaut. Au besoin, l'initiateur pourra aussi se référer à la base de données de l'U.S. Environmental Protection Agency à cet effet [3]. Les concentrations initiales de  $NO_2$  et d'ozone ( $O_3$ ) calculées par le MELCCFP pour un milieu représentatif et présentées au tableau 1 du présent avis pourront être utilisées afin de calculer les concentrations de  $NO_2$  avec la méthode OLM ou PVMRM lors de la modélisation, le cas échéant.

*Tableau 1 : Concentrations initiales de dioxyde d'azote ( $NO_2$ ) et d'ozone ( $O_3$ ) représentatives du milieu où est situé le projet à utiliser avec la méthode de la limite en ozone (OLM), le cas échéant.*

$NO_2$ [ $\mu\text{g}/\text{m}^3$ ]			$O_3$ [ $\mu\text{g}/\text{m}^3$ ]		
1 heure	24 heures	1 an	1 heure	24 heures	1 an
43	28	9	70	68	52

#### *Limite d'application des normes et critères de qualité de l'atmosphère*

D'après la figure 4 du devis, la zone industrielle I-32, qui a été exclue du modèle, ne correspond pas en tout point à celle du plan de zonage de la Municipalité de Baie-Trinité disponible en ligne (<https://baie-trinite.quebec/projets>). Dans le modèle, la limite de la zone I-32 longe notamment la route 138 au lieu de suivre le centre de la route 138 comme indiqué au plan de zonage. Dans le rapport de modélisation, en plus d'exclure les territoires appartenant à l'initiateur dans la zone forestière, l'initiateur devra ajuster la limite d'application des normes et critères de qualité de l'atmosphère pour que l'ensemble des territoires zonés à des fins industrielles soient exclus de la modélisation. Enfin, il est important de noter qu'un projet de changement de zonage est en cours et que la limite d'application des normes et critères de qualité de l'atmosphère dans le rapport devra respecter celle du plan de zonage à jour de la Municipalité, le cas échéant.

#### *Concentrations initiales et critères de qualité de l'atmosphère*

Les critères de qualité de l'atmosphère, notamment les critères relatifs aux odeurs, présentés au tableau 4 du devis sont basés sur la version 8 du document « Normes et critères québécois de qualité de l'atmosphère » bien que la version 9 soit maintenant disponible sur le site web du MELCCFP [4]. Les critères utilisés dans le rapport devront donc être tirés de la version 9. Noter également que le

tableau 4 du rapport mentionne une valeur limite annuelle pour les particules fines (PM<sub>2,5</sub>) de 2 µg m<sup>-3</sup>, bien qu'aucune valeur limite pour cette période d'application n'existe pour ce contaminant. Cela devra être corrigé dans le rapport. Enfin, les concentrations initiales pour le sulfure d'hydrogène sont manquantes dans le tableau 4 et devront être fournies dans le rapport.

#### *Éléments manquants ou divergents*

L'initiateur a fourni un devis de modélisation avec des éléments divergents ou manquants. Par exemple, l'orientation des huit sources d'émission ponctuelles et les hauteurs des bâtiments inclus au modèle ne sont pas mentionnées dans le devis et devront l'être dans le rapport. Des informations sont divergentes dans le devis concernant notamment les données d'élévation des sources d'émission et des bâtiments. À ce titre, la section 8 mentionne que l'élévation des bâtiments et des sources d'émission est assignée par le préprocesseur AERMAP bien que le tableau 2 indique, au contraire, que les élévations des bâtiments et des cheminées sont ajustées en fonction du nivellement du site requis pour la construction. Dans le rapport, l'élévation réelle des sources d'émission et des bâtiments devra être utilisée dans le modèle, et non pas celle extraite par AERMAP.

#### *Récepteurs sensibles*

Une résidence est notamment présente à environ 40 mètres au sud-ouest du récepteur sensible R4, mais n'a pas été considérée comme un récepteur sensible. De plus, selon des images satellites, une habitation semble présente aux coordonnées 625 921 m E, 5 478 453 m N (UTM, zone 19 U). Si une habitation est présente à cet emplacement lors de l'exploitation de la pisciculture, celle-ci devra être considérée comme un récepteur sensible. Dans le rapport de modélisation, toutes les habitations et établissements publics à proximité du site devront être considérés comme récepteur sensible et la concentration des contaminants devra être calculée en fonction d'un point correspondant à l'emplacement de ceux-ci, comme le prescrit l'article 202 du Règlement sur l'assainissement de l'atmosphère.

Je demeure disponible pour toute question relative à cet avis.

Original signé par Michel Lavoie

ML-vv/gb

#### **Références**

- [1] Groupe Alphard, 2025. *Devis de modélisation préliminaire – Étude de dispersion des émissions atmosphériques pour les installations du projet de construction d'une ferme piscicole terrestre à Baie-Trinité. AQB-001-4C-0000-DEV-001-R0A.* 27 pages.
- [2] United States Environmental Protection Agency. 2012. *Haul Road Workgroup Final Report Submission to EPA-OAQPS. Memorandum,* [En ligne], [https://www.epa.gov/sites/default/files/2020-10/documents/haul\\_road\\_workgroup-final\\_report\\_package-20120302.pdf](https://www.epa.gov/sites/default/files/2020-10/documents/haul_road_workgroup-final_report_package-20120302.pdf)
- [3] U.S. Environmental Protection Agency. *Nitrogen Dioxide / Nitrogen Oxide In Stack Ratio (ISR) Database,* [En ligne]. <https://www.epa.gov/scram/nitrogen-dioxidenitrogen-oxide-stack-ratio-isr-database>.

[4] Ministère de l'Environnement, de la Lutte contre les changements climatiques, de la Faune et des Parcs (MELCCFP), 2025. Normes et critères québécois de qualité de l'atmosphère, version 9, Québec, Direction de la qualité de l'air et du climat, [En ligne], [www.environnement.gouv.qc.ca/air/criteres/index.htm](http://www.environnement.gouv.qc.ca/air/criteres/index.htm)

---

Annexe 2      Fiche technique des systèmes et équipements  
auxiliaires

# reference data sheet



## Technical data

2300 kWel; 400 V, 50 Hz; Natural gas, MN = 80

### Design conditions

Inlet air temperature / rel. Humidity:	[°C] / [%]	25 / 60
Altitude:	[m]	100
Exhaust temp. after heat exchanger:	[°C]	120
NO <sub>x</sub> Emission (tolerance - 8%):	[mg/Nm <sup>3</sup> @5%O <sub>2</sub> ]	250

### Fuel gas data: <sup>2)</sup>

Methane number:	[ - ]	80
Lower calorific value:	[kWh/Nm <sup>3</sup> ]	10,17
Gas density:	[kg/Nm <sup>3</sup> ]	0,79
Standard gas:	Natural gas, MN = 80	

### Genset:

Engine:	CG170B-20	
Speed:	[1/min]	1500
Configuration / number of cylinders:	[ - ]	V / 20
Bore / Stroke / Displacement:	[mm]/[mm]/[dm <sup>3</sup> ]	170 / 195 / 89
Compression ratio:	[ - ]	13,0
Mean piston speed:	[m/s]	9,8
Mean lube oil consumption at full load:	[g/kWh]	0,15
Engine-management-system:	[ - ]	TEM EVO
Generator:	Marelli MJB 560 LB4	
Voltage / voltage range / cos Phi:	[V] / [%] / [-]	400 / ±10 / 1
Speed / frequency:	[1/min] / [Hz]	1500 / 50

### Energy balance

Load:	[%]	100	75	50
Electrical power COP acc. ISO 8528-1:	[kW]	2300	1500	1000
Engine jacket water heat:	[kW ±8%]	1043	788	556
Intercooler LT heat:	[kW ±8%]	184	132	79
Lube oil heat:	[kW ±8%]			
Exhaust heat with temp. after heat exchanger:	[kW ±8%]	1024	856	655
Exhaust temperature:	[°C ±25°C]	415	442	473
Exhaust mass flow, wet:	[kg/h]	11422	8724	6060
Combustion mass air flow:	[kg/h]	11055	8441	5860
Radiation heat engine / generator:	[kW ±8%]	71 / 54	67 / 45	61 / 39
Fuel consumption:	[kW+5%]	4690	3628	2556
Electrical / thermal efficiency:	[%]	42,6 / 44,1	41,3 / 45,3	39,1 / 47,4
Total efficiency:	[%]	86,7	86,6	86,5

### System parameters <sup>1)</sup>

Ventilation air flow (comb. air incl.) with ΔT = 15K	[kg/h]	51500
Combustion air temperature minimum / design:	[°C]	5 / 25
Exhaust back pressure from / to:	[mbar]	30 / 50
Maximum pressure loss in front of air cleaner:	[mbar]	5
Zero-pressure gas control unit selectable from / to: <sup>2)</sup>	[mbar]	20 / 200
Pre-pressure gas control unit selectable from / to: <sup>2)</sup>	[bar]	0,5 / 10
Starter battery 24V, capacity required:	[Ah]	450
Starter motor:	[kWel.]/[VDC]	18 / 24
Lube oil content engine / base frame:	[dm <sup>3</sup> ]	300 / 685
Dry weight engine / genset:	[kg]	8070 / 17620

### Cooling system

Glycol content engine jacket water / intercooler:	[% Vol.]	35 / 35
Water volume engine jacket / intercooler:	[dm <sup>3</sup> ]	210 / 25
KVS / Cv value engine jacket water / intercooler:	[m <sup>3</sup> /h]	58 / 52
Jacket water coolant temperature in / out:	[°C]	80 / 93
Intercooler coolant temperature in / out:	[°C]	40 / 44
Engine jacket water flow rate from / to:	[m <sup>3</sup> /h]	60 / 85
Water flow rate engine jacket water / intercooler:	[m <sup>3</sup> /h]	74 / 40
Water pressure loss engine jacket water / intercooler:	[bar]	1,6 / 0,6

Page 1 / 1

1) See also "Layout of power plants":

2) See also Techn. Circular 0199-99-3017

3332450EB19753

Frequency band f [Hz]	25	31,5	40	50	63	80	100	125	160	200	250	315	400	500	630	800	1k	1,25k	1,6k	2k	2,5k	3,15k	4k	5k	6,3k	8k	10k	12,5k	16k	L <sub>WA</sub> [dB(A)]	S [m <sup>2</sup> ]
Air-borne noise <sup>3)</sup> L <sub>WA,Terc</sub> [dB(lin)]	94,9	96,9	98,0	100,0	106,3	111,3	111,7	118,9	113,6	116,3	116,8	112,2	111,6	114,2	111,5	111,1	112,2	110,5	111,3	111,4	109,2	107,2	105,7	105,9	109,4	120,3	104,7	99,1	98,6	123,8 ±4dB(A)	140
Exhaust noise <sup>4)</sup> L <sub>WA,Terc</sub> [dB(lin)]	118,6	117,9	121,4	127,3	126,9	126,8	126,5	140,9	126,3	129,9	130,9	125,2	126,3	126,5	125,9	125,9	125,0	123,3	123,9	123,8	123,2	126,3	116,4	115,5	115,2	114,1	114,6	112,6	110,8	135,8 ±3dB(A)	15,5 <sup>5)</sup>

3) DIN EN ISO 3746 (σ<sub>RD</sub>=±4 dB)

4) Measured in exhaust pipe (f ≤ 250Hz: ±5dB; f > 250Hz: ±3dB)

L<sub>WA</sub>: Sound power level

S: Area of measurement surface (S<sub>0</sub>=1m<sup>2</sup>)

5) DIN 45635-11, Appendix A

---

Annexe 3      Taux d'émission des polluants associés au  
transport sur des routes non revêtues

# Alphard

Projet #	AQB-001
Titre du projet	Étude de Dispersion des Émissions Atmosphériques pour l'ensemble des activités d'AquaBoreal
Client	AquaBoreal
Scénario considéré pour la modélisation des particules PM <sub>tot</sub> et PM <sub>2,5</sub>	

SLINE1 - Activité transport - source volumique non pavée intérieure - calcul du taux d'émission des PM<sub>tot</sub>

Description	Unité	Paramètre	Valeur utilisée	Référence
k [ PM30 (PMtot) ]	-	k	4,9	AP-42, sect. 13.2.2, tableau 2 ( <a href="https://www3.epa.gov/ttn/chief/ap42/ch13/final/c13s0202.pdf">https://www3.epa.gov/ttn/chief/ap42/ch13/final/c13s0202.pdf</a> )
a [ PM30 (PMtot) ]	-	a	0,7	AP-42, sect. 13.2.2, tableau 3 ( <a href="https://www3.epa.gov/ttn/chief/ap42/ch13/final/c13s0202.pdf">https://www3.epa.gov/ttn/chief/ap42/ch13/final/c13s0202.pdf</a> )
b [ PM30 (PMtot) ]	-	b	0,45	AP-42, sect. 13.2.2, tableau 4 ( <a href="https://www3.epa.gov/ttn/chief/ap42/ch13/final/c13s0202.pdf">https://www3.epa.gov/ttn/chief/ap42/ch13/final/c13s0202.pdf</a> )
Conversion lb/VMT vers g/VKT	-	C	281,9	AP-42, sect. 13.2.2, tableau 5 ( <a href="https://www3.epa.gov/ttn/chief/ap42/ch13/final/c13s0202.pdf">https://www3.epa.gov/ttn/chief/ap42/ch13/final/c13s0202.pdf</a> )
Contenu en silt de la route	%	s	6,4	AP-42, sect. 13.2.2, Tableau 13.2.2-1( <a href="https://www3.epa.gov/ttnchie1/ap42/ch13/final/c13s0202.pdf">https://www3.epa.gov/ttnchie1/ap42/ch13/final/c13s0202.pdf</a> )
Poids moyen - Circulation par segment	tonnes	W	13,5	Moyennes des poids des camions selon les opérations prévues
Facteur d'émission	g/VKT	FE	6,21	AP-42, sect. 13.2.2, éq. 1a ; FE = k(s/12)a(W/3)b ( <a href="https://www3.epa.gov/ttn/chief/ap42/ch13/final/c13s0202.pdf">https://www3.epa.gov/ttn/chief/ap42/ch13/final/c13s0202.pdf</a> )
Nombre de déplacements par 10h d'opération	nombre	nb	10	Nombre de déplacements prévue par 10 heures d'opérations
Longueur de la surface d'émission	Km	L	2,14	Longueur du chemin à parcourir , en fonction des opérations prévues
Véhicule - total km parcouru	VKT	V	21,4	L*nb
Temps d'opération par jour par segment	heure	h	10	Heures d'opérations
Atténuation	facteur	at	0,25	AP-42, sect. 13.2.2, figure 2 ( <a href="https://www3.epa.gov/ttn/chief/ap42/ch13/final/c13s0202.pdf">https://www3.epa.gov/ttn/chief/ap42/ch13/final/c13s0202.pdf</a> )
Taux d'émission PM30 (PM <sub>tot</sub> )	g/s	TE	1,041	(C*FEat*V)/(h*3600)
Taux d'émission PM30 (PM <sub>tot</sub> ) atténué	g/s	TEat	0,260	(C*FEat*V*at)/(h*3600)

SLINE1 - Activité transport - source volumique non pavée intérieure - calcul du taux d'émission des PM<sub>2,5</sub>

Description	Unité	Paramètre	Valeur utilisée	Référence
k (PM2.5)	-	k	0,15	AP-42, sect. 13.2.2, tableau 2 ( <a href="https://www3.epa.gov/ttn/chief/ap42/ch13/final/c13s0202.pdf">https://www3.epa.gov/ttn/chief/ap42/ch13/final/c13s0202.pdf</a> )
a (PM2.5)	-	a	0,9	AP-42, sect. 13.2.2, tableau 3 ( <a href="https://www3.epa.gov/ttn/chief/ap42/ch13/final/c13s0202.pdf">https://www3.epa.gov/ttn/chief/ap42/ch13/final/c13s0202.pdf</a> )
b (PM2.5)	-	b	0,45	AP-42, sect. 13.2.2, tableau 4 ( <a href="https://www3.epa.gov/ttn/chief/ap42/ch13/final/c13s0202.pdf">https://www3.epa.gov/ttn/chief/ap42/ch13/final/c13s0202.pdf</a> )
Conversion lb/VMT vers g/VKT	-	C	281,9	AP-42, sect. 13.2.2, tableau 5 ( <a href="https://www3.epa.gov/ttn/chief/ap42/ch13/final/c13s0202.pdf">https://www3.epa.gov/ttn/chief/ap42/ch13/final/c13s0202.pdf</a> )
Contenu en silt de la route	%	s	6,4	AP-42, sect. 13.2.2, Tableau 13.2.2-1( <a href="https://www3.epa.gov/ttnchie1/ap42/ch13/final/c13s0202.pdf">https://www3.epa.gov/ttnchie1/ap42/ch13/final/c13s0202.pdf</a> )
Poids moyen - Circulation par segment	tonnes	W	13,5	Moyennes des poids des camions selon les opérations prévues
Facteur d'émission	g/VKT	FE	0,17	AP-42, sect. 13.2.2, éq. 1a ; FE = k(s/12)a(W/3)b ( <a href="https://www3.epa.gov/ttn/chief/ap42/ch13/final/c13s0202.pdf">https://www3.epa.gov/ttn/chief/ap42/ch13/final/c13s0202.pdf</a> )
Nombre de déplacements	nombre	nb	10	Nombre de déplacements prévue par 10 heures d'opérations
Longueur de la surface d'émission	Km	L	2,14	Longueur du chemin à parcourir , en fonction des opérations prévues
Véhicule - Total km parcouru	VKT	V	21,4	L*nb
Temps d'opération par jour par segment	heure	h	10	Heures d'opérations
Atténuation	facteur	at	0,25	AP-42, sect. 13.2.2, figure 2 ( <a href="https://www3.epa.gov/ttn/chief/ap42/ch13/final/c13s0202.pdf">https://www3.epa.gov/ttn/chief/ap42/ch13/final/c13s0202.pdf</a> )
Taux d'émission PM <sub>2,5</sub>	g/s	TE	0,028	(C*FEat*V)/(h*3600)
Taux d'émission PM <sub>2,5</sub> atténué	g/s	TEat	0,007	(C*FEat*V*at)/(h*3600)

# Alphard

Projet #	AQB-001
Titre du projet	Étude de Dispersion des Émissions Atmosphériques pour l'ensemble des activités d'AquaBoreal
Client	AquaBoreal

For vehicles traveling on unpaved surfaces at industrial sites, emissions are estimated from the following equation:

$$E = k (s/12)^a (W/3)^b$$

where  $k$ ,  $a$ ,  $b$ ,  $c$  and  $d$  are empirical constants (Reference 6) given below and

$E$  = size-specific emission factor (lb/VMT) ————— vehicle mile traveled (VMT)  
 $s$  = surface material silt content (%)  
 $W$  = mean vehicle weight (tons)

The metric conversion from lb/VMT to grams (g) per vehicle kilometer traveled (VKT) is as follows:

$$1 \text{ lb/VMT} = 281.9 \text{ g/VKT}$$

The emission factor ( $E$ ) can be extrapolated to annual average uncontrolled conditions (but including natural mitigation) under the simplifying assumption that annual average emissions are inversely proportional to the number of days with measurable (more than 0.254 mm) precipitation:

$$E_{\text{ext}} = E [(365 - P)/365]$$

where:

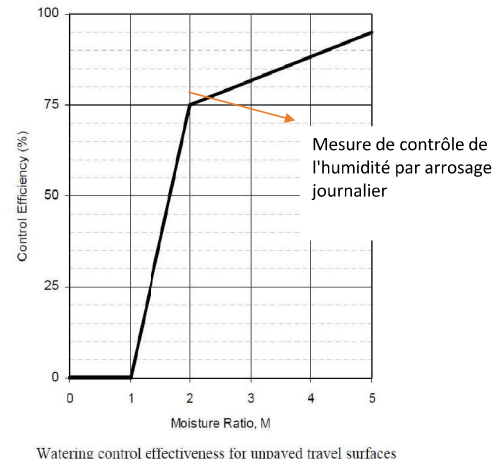
$E_{\text{ext}}$  = annual size-specific emission factor extrapolated for natural mitigation, lb/VMT

$E$  = emission factor from Equation 1a or 1b

$P$  = number of days in a year with at least 0.254 mm (0.01 in) of precipitation

Source (AP-42, sect. 13.2.2):

<https://www3.epa.gov/ttn/chief/ap42/ch13/final/c13s0202.pdf>



---

Annexe 4      Taux d'émission des polluants associés au  
systèmes et équipements auxiliaires

# Alphard

Projet #	AQB-001
Titre du projet	Étude de Dispersion des Émissions Atmosphériques pour l'ensemble des activités d'AquaBoreal
Client	AquaBoreal
Scénario considéré pour la modélisation des NO <sub>x</sub> , du CO, des PM <sub>2,5</sub> et des PM <sub>tot</sub>	

## STK6, STK7 et STK8 -Systèmes et équipements auxiliaires

Description	Unité	Paramètre	Valeur utilisée	Référence
Débit d'air de combustion	kg/hr	Q <sub>initial</sub>	11 055	Fiche technique de l'équipement
Densité de l'air	kg/Nm <sup>3</sup>	d	1,29	Densité à 0 °C, 1 atm et 60 % d'humidité selon la fiche technique (thermexcel.com/french/tables/massair.htm)
Facteur de conversion	s/hr	s	3 600	
Débit d'air de combustion d'une génératrice	Nm <sup>3</sup> /s	Q	2,38	Q <sub>initial</sub> /d/s
Débit d'air de combustion 3 génératrices	Nm <sup>3</sup> /s	Q <sub>final</sub>	7,14	Q*3
Facteur d'émission des NO <sub>x</sub>	mg/Nm <sup>3</sup>	FE <sub>NOx</sub>	250	Fiche technique de l'équipement
Facteur d'émission du CO	lb/MMBtu	FE <sub>CO</sub>	5,57E-01	AP-42, chapitre 3.2, tableau 3.2-2
Facteur d'émission des PM <sub>2,5</sub>	lb/MMBtu	FE <sub>PM2,5</sub>	7,71E-05	AP-42, chapitre 3.2, tableau 3.2-2
Facteur d'émission des PM <sub>tot</sub>	lb/MMBtu	FE <sub>PMtot</sub>	9,91E-03	AP-42, chapitre 3.2, tableau 3.2-2
Facteur de conversion	mg/g	mg	1 000	
Facteur de conversion	g/lb	g	454	
Facteur de conversion	kWh/MMBtu	k	293	
Efficacité de la génératrice	%	Eff	45%	Hypothèse
Facteur d'émission du CO	g/kWh	FE <sub>CO</sub>	1,92	FE <sub>CO</sub> *g/k/Eff
Facteur d'émission des PM <sub>2,5</sub>	g/kWh	FE <sub>PM2,5</sub>	0,00027	FE <sub>PM2,5</sub> *g/k/Eff
Facteur d'émission des PM <sub>tot</sub>	g/kWh	FE <sub>PMtot</sub>	0,034	FE <sub>PMtot</sub> *g/k/Eff
Puissance totale	kW	P	6 900	Courriel CIM+*
Facteur de conversion	secondes/hr	f	3 600	
Taux d'émission des NO <sub>x</sub>	g/s	TE <sub>NOx</sub>	1,79	Q <sub>final</sub> *FE <sub>NOx</sub> /mg
Taux d'émission du CO	g/s	TE <sub>CO</sub>	3,67	P*FE <sub>CO</sub> /f
Taux d'émission des PM <sub>2,5</sub>	g/s	TE <sub>PM2,5</sub>	5,08E-04	P*FE <sub>PM2,5</sub> /f
Taux d'émission des PM <sub>tot</sub>	g/s	TE <sub>PMtot</sub>	0,065	P*FE <sub>PMtot</sub> /f

---

Annexe 5      Taux d'émission des polluants associés au  
transport des boues et résidus de l'éviscération

# Alphard

Projet #	AQB-001
Titre du projet	Étude de Dispersion des Émissions Atmosphériques pour l'ensemble des activités d'AquaBoreal
Client	AquaBoreal
Scénario considéré pour la modélisation des odeurs et du H <sub>2</sub> S	

SLINE2 - Activité transport - source volumique non pavée intérieure - calcul du taux d'émission des unités odeur (UO)

Description	Unité	Paramètre	Valeur utilisée	Référence
Longueur de la benne du camion	m	L	5	
Largeur de la benne du camion	m	I	2,5	
Surface de la benne du camion	m	Sc	12,5	L*I
Périmètre de la benne du camion	m	P	15	2L + 2I
Espace entre la benne du camion et la bâche	m	h1	0,025	Hypothèse
Part de la bâche où il y a des émissions fugitives	% de la surface	f	50%	Hypothèse, la bâche n'est pas fixée de manière étanche au camion
Surface d'émissions fugitives	m <sup>2</sup>	Sé	0,1875	P*h1*f
Espace vide entre les boues et la bâche	m	h2	0,3	Hypothèse, le camion est rempli à 85 %
Volume d'air dans la benne du camion	m <sup>3</sup>	V	3,75	Sc*h2
Seuil de perception du H <sub>2</sub> S	ppm	-	0,0005	Hypothèse : 1 unité odeur équivaut au seuil de perception (pmc.ncbi.nlm.nih.gov/articles/PMC5777517/#:~:text=Hydrogen%20)
Dose maximale de perception olfactive offensive du H <sub>2</sub> S	ppm	-	0,75	Tableau 4-1 (www.ncbi.nlm.nih.gov/books/NBK208170/table/ttt00078/?report=objectonly)
Concentration d'UO	UO/m <sup>3</sup>	C	1 500	
Vitesse de l'air	m/s	v	0,05	Hypothèse, vitesse en condition naturelle pour un camion en mouvement
Taux d'émission des UO	UO/s	TE	<b>14,063</b>	Sé*v*C

SLINE2 - Activité transport - source volumique non pavée intérieure - calcul du taux d'émission du H<sub>2</sub>S

Description	Unité	Paramètre	Valeur utilisée	Référence
Dose maximale de perception olfactive offensive du H <sub>2</sub> S	ppm	c	0,75	Tableau 4-1 (www.ncbi.nlm.nih.gov/books/NBK208170/table/ttt00078/?report=objectonly)
Masse molaire du H <sub>2</sub> S	g/mol	MM	34,082	Répertoire toxicologique CNESST (reptox.cnesst.gouv.qc.ca/Pages/fiche-complete.aspx?no_produit=4143&no_seq=1)
Température	°C	T	25	
Température	K	T	298,15	
Pression	atm	P	1	
Constante des gaz parfaits	(m <sup>3</sup> .atm)/(K.mol)	R	8,20573E-05	byjus.com/physics/value-of-r-in-atm/
Volume molaire du H <sub>2</sub> S	m <sup>3</sup> /mol	V	0,02447	R*T/P
Concentration de H <sub>2</sub> S	g/m <sup>3</sup>	C	0,001045	c*MM/V
Surface d'émissions fugitives	m <sup>2</sup>	Sé	0,1875	Calcul, voir le détail au tableau précédent
Vitesse de l'air	m/s	v	0,05	Hypothèse, vitesse en condition naturelle pour un camion en mouvement
Taux d'émission du H <sub>2</sub> S	g/s	TE	<b>9,80E-06</b>	C*Q

---

Annexe 6      Taux d'émission des polluants associés au système  
de traitement des eaux et des boues

# Alphard

Projet #	AQB-001
Titre du projet	Étude de Dispersion des Émissions Atmosphériques pour l'ensemble des activités d'AquaBoreal
Client	AquaBoreal
Scénario considéré pour la modélisation des odeurs et du H <sub>2</sub> S	

STK1 et STK2 - Système de traitement des eaux et des boues - calcul du taux d'émission des unités odeur (UO)

Description	Unité	Paramètre	Valeur utilisée	Référence
Diamètre interne de la cheminée	m	D	0,85	
Rayon interne de la cheminée	m	r	0,43	D/2
Surface interne de la cheminée	m <sup>2</sup>	S	0,57	$\pi \cdot r^2$
Vitesse des gaz	m/s	v	18	
Débit des gaz à la cheminée	m <sup>3</sup> /s	Q	10,21	S*v
Seuil de perception du H <sub>2</sub> S	ppm	-	0,0005	Hypothèse : 1 unité odeur équivaut au seuil de perception ( <a href="http://pmc.ncbi.nlm.nih.gov/articles/PMC5777517/#:~:text=Hydrogen%20">pmc.ncbi.nlm.nih.gov/articles/PMC5777517/#:~:text=Hydrogen%20</a> )
Dose maximale de perception olfactive offensive du H <sub>2</sub> S	ppm	-	0,75	Tableau 4-1 ( <a href="http://www.ncbi.nlm.nih.gov/books/NBK208170/table/ttt00078/?report=objectonly">www.ncbi.nlm.nih.gov/books/NBK208170/table/ttt00078/?report=objectonly</a> )
Concentration UO	UO/m <sup>3</sup>	C	1 500	
Pourcentage d'abattement de l'unité de traitement	%	ab	90%	Courriel CIMA+
Taux d'émission des UO	UO/s	TE	<b>15 321</b>	C*Q
Taux d'émission des UO après traitement	UO/S	Teat	<b>1 532</b>	TE*ab

STK1 et STK2 - Système de traitement des eaux et des boues - calcul du taux d'émission du H<sub>2</sub>S

Description	Unité	Paramètre	Valeur utilisée	Référence
Dose maximale de perception olfactive offensive du H <sub>2</sub> S	ppm	c	0,75	Tableau 4-1 ( <a href="http://www.ncbi.nlm.nih.gov/books/NBK208170/table/ttt00078/?report=objectonly">www.ncbi.nlm.nih.gov/books/NBK208170/table/ttt00078/?report=objectonly</a> )
Masse molaire du H <sub>2</sub> S	g/mol	MM	34,082	Répertoire toxicologique CNESST ( <a href="http://reptox.cnesst.gouv.qc.ca/Pages/fiche-complete.aspx?no_produit=4143&amp;no_seq=1">reptox.cnesst.gouv.qc.ca/Pages/fiche-complete.aspx?no_produit=4143&amp;no_seq=1</a> )
Température	°C	T	25	
Température	K	T	298,15	
Pression	atm	P	1	
Constante des gaz parfaits	(m <sup>3</sup> .atm)/(K.mol)	R	8,20573E-05	<a href="http://byjus.com/physics/value-of-r-in-atm/">byjus.com/physics/value-of-r-in-atm/</a>
Volume molaire du H <sub>2</sub> S	m <sup>3</sup> /mol	V	0,02447	R*T/P
Concentration de H <sub>2</sub> S	g/m <sup>3</sup>	C	0,001045	c*MM/V
Diamètre interne de la cheminée	m	D	0,85	
Rayon interne de la cheminée	m	r	0,43	D/2
Surface interne de la cheminée	m <sup>2</sup>	S	0,57	$\pi \cdot r^2$
Vitesse des gaz	m/s	v	18	
Débit des gaz à la cheminée	m <sup>3</sup> /s	Q	10,21	S*v
Pourcentage d'abattement de l'unité de traitement	%	ab	90%	Courriel CIMA+
Taux d'émission du H <sub>2</sub> S	g/s	TE	<b>1,07E-02</b>	C*Q
Taux d'émission du H <sub>2</sub> S après traitement	g/s	TE	<b>1,07E-03</b>	TE*ab

---

Annexe 7      Taux d'émission des polluants associés aux  
enceintes d'éviscération des poissons

# Alphard

Projet #	AQB-001
Titre du projet	Étude de Dispersion des Émissions Atmosphériques pour l'ensemble des activités d'AquaBoreal
Client	AquaBoreal
Scénario considéré pour la modélisation des odeurs et du H <sub>2</sub> S	

STK3, STK4 et STK5 - Enceintes d'éviscération des poissons - calcul du taux d'émission des unités odeur (UO)

Description	Unité	Paramètre	Valeur utilisée	Référence
Diamètre interne de la cheminée	m	D	0,55	
Rayon interne de la cheminée	m	r	0,28	D/2
Surface interne de la cheminée	m <sup>2</sup>	S	0,24	$\pi \cdot r^2$
Vitesse des gaz	m/s	v	15	
Débit des gaz à la cheminée	m <sup>3</sup> /s	Q	3,56	S*v
Seuil de perception du H <sub>2</sub> S	ppm	-	0,0005	Hypothèse : 1 unité odeur équivaut au seuil de perception
Dose maximale de perception olfactive offensive du H <sub>2</sub> S	ppm	-	0,75	Tableau 4-1 ( <a href="http://www.ncbi.nlm.nih.gov/books/NBK208170/table/ttt00078/?report=objectonly">www.ncbi.nlm.nih.gov/books/NBK208170/table/ttt00078/?report=objectonly</a> )
Concentration d'unités odeur (UO)	UO/m <sup>3</sup>	C	1 500	
Pourcentage d'abattement de l'unité de traitement	%	ab	90%	Courriel CIMA+
Taux d'émission des UO	UO/s	TE	5 346	C*Q
Taux d'émission des UO après traitement	UO/S	Teat	535	TE*ab

STK3, STK4 et STK5 - Enceintes d'éviscération des poissons - calcul du taux d'émission du H<sub>2</sub>S

Description	Unité	Paramètre	Valeur utilisée	Référence
Dose maximale de perception olfactive offensive du H <sub>2</sub> S	ppm	-	0,75	Tableau 4-1 ( <a href="http://www.ncbi.nlm.nih.gov/books/NBK208170/table/ttt00078/?report=objectonly">www.ncbi.nlm.nih.gov/books/NBK208170/table/ttt00078/?report=objectonly</a> )
Masse molaire du H <sub>2</sub> S	g/mol	MM	34,082	Répertoire toxicologique CNESST ( <a href="http://reptox.cnesst.gouv.qc.ca/Pages/fiche-complete.aspx?no_produit=4143&amp;no_seq=1">reptox.cnesst.gouv.qc.ca/Pages/fiche-complete.aspx?no_produit=4143&amp;no_seq=1</a> )
Température	°C	T	25	
Température	K	T	298,15	
Pression	atm	P	1	
Constante des gaz parfaits	(m <sup>3</sup> .atm)/(K.mol)	R	8,20573E-05	<a href="http://byjus.com/physics/value-of-r-in-atm/">byjus.com/physics/value-of-r-in-atm/</a>
Volume molaire du H <sub>2</sub> S	m <sup>3</sup> /mol	V	0,02447	
Concentration de H <sub>2</sub> S	g/m <sup>3</sup>	C	0,001045	
Diamètre interne de la cheminée	m	D	0,55	
Rayon interne de la cheminée	m	r	0,28	D/2
Surface interne de la cheminée	m <sup>2</sup>	S	0,24	$\pi \cdot r^2$
Vitesse des gaz	m/s	v	15	
Débit des gaz à la cheminée	m <sup>3</sup> /s	Q	3,56	S*v
Pourcentage d'abattement de l'unité de traitement	%	ab	90%	Courriel CIMA+
Taux d'émission du H <sub>2</sub> S	g/s	TE	3,72E-03	C*Q
Taux d'émission du H <sub>2</sub> S après traitement	g/s	TE	3,72E-04	TE*ab

---

Annexe 8      Rapport « Données météorologiques – Baie-Comeau » d'Airmet Science



## **DONNÉES MÉTÉOROLOGIQUES**

**BAIE-COMEAU**  
**2016-2020**

a/s

Nicolae Fugaru, géomaticien, B.Sc.  
Lead technique, Aménagement civil | Géomatique appliquée  
Ingénierie environnementale  
ALPHARD  
1255, boulevard Lebourgneuf, bureau 480  
Québec (Québec) G2K 0M6

11 juillet 2025

## Table des matières

1.	INTRODUCTION .....	3
2.	DONNÉES .....	3
2.1	Données de surface.....	3
2.2	Radiosondages.....	3
3.	PARAMÈTRES DE SURFACE .....	4
4.	FICHIERS DE MODÉLISATION .....	7

## Liste des figures

Figure 1.	Vue générale (Baie-Comeau) .....	4
Figure 2.	Localisation de la tour météorologique et secteurs angulaires .....	5
Figure 3.	Rose des vents de Baie-Comeau .....	7

## Liste des tableaux

Tableau 1.	Nombre de données manquantes.....	3
Tableau 2.	Nombre de sondages manquants à YZV .....	4
Tableau 3.	Utilisation du sol (%).....	6
Tableau 4.	Paramètres de surface .....	6

## 1. INTRODUCTION

M. N. Fugaru de ALPHARD a demandé à AirMet Science Inc. de produire des fichiers de modélisation AERMOD (sfc et pfl) à partir des observations météorologiques de Baie-Comeau.

Ce rapport présente les observations utilisées et les résultats des calculs.

## 2. DONNÉES

### 2.1 Données de surface

La période couvre les années 2016 à 2020.

Les données de surface pour la vitesse et la direction du vent et la température sont celles de la station GBC du MSC (7040442) à partir des données horaires d'Environnement Canada.

Les données de nébulosité et de radiation nette (option ONSITE) proviennent du ERA-5 (48.13°N, 68.21°W).

Le nombre de valeurs manquantes est faible pour chacune des variables (Tableau 1). Pour le vent on dénombre 69 heures manquantes, 86 pour la température et aucune pour la nébulosité; la fréquence de données manquantes est largement inférieure à 1%.

*Tableau 1. Nombre de données manquantes*

Variable	Nombre de données manquantes 2016-2020	%
Vent	69	0.157
Température	86	0.196
Nébulosité (ERA-5)	0	0
Radiation nette (ERA-5)	0	0

Le fichier des observations de surface a été utilisé pour produire un fichier \*.sam compatible pour entrée dans AERMET.

### 2.2 Radiosondages

Les observations aérologiques sont celles de Sept-Îles (YZV).

Le nombre de sondages (12Z) manquants durant la période est de 7 (Tableau 2)

*Tableau 2. Nombre de sondages manquants à YZV*

<b>SONDAGES YZV</b>	<b>NOMBRE DE MANQUANTS (12Z)</b>
2016	1
2017	2
2018	0
2019	2
2020	2

Les sondages manquants de 12Z ont été remplacés par le sondage de la veille.

### 3. PARAMÈTRES DE SURFACE

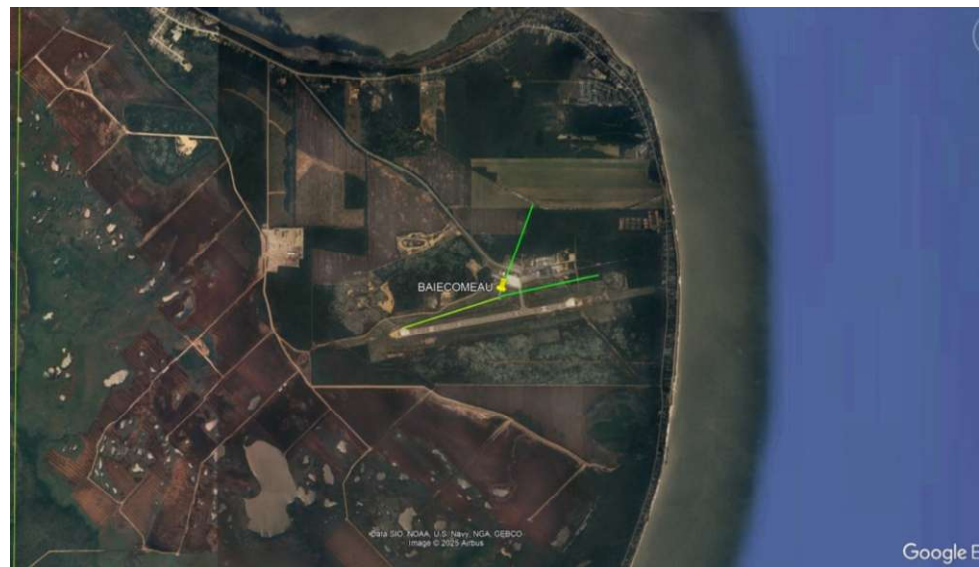
La Figure 1 montre une vue générale de la région pour le domaine de 10 km.

*Figure 1. Vue générale (Baie-Comeau)*



La localisation de la station de Baie-Comeau (tour) est montrée à la Figure 2.

*Figure 2. Localisation de la tour météorologique et secteurs angulaires*



Les paramètres de surface ont été évalués selon la procédure usuelle.

L'albédo et le rapport de Bowen sont calculés sur un domaine de 10 km x 10 km; ainsi, on obtient une moyenne géométrique pour le rapport de Bowen et arithmétique pour l'albédo pondérées à l'utilisation du sol.

Pour la rugosité, on calcule une moyenne géométrique pondérée à l'inverse de la distance sur un domaine de 1 km de rayon autour de la station pour des secteurs angulaires représentatifs (d'au moins 30°). Les valeurs sont calculées par saison et appliquées sur les mois de chaque saison. Trois secteurs angulaires sont retenus (Figure 2), soit 020° à 080°, 080° à 250° et 250° à 020°.

Le Tableau 3 donne les pourcentages d'utilisation du sol dans le domaine de 10 km x 10 km et dans le domaine de 1 km de rayon autour de la station météorologique.

Tableau 3. Utilisation du sol (%)

FRÉQUENCE UTILISATION DU SOL (%)	
GRILLE 10 km	
Low Intensity Residential	2.25
Commercial-Indust-Transp (Site at Airport)	0.25
Evergreen Forest	37.25
Mixed Forest	7.00
Pasture-Hay	0.75
Urban Recreational Grasses	1.25
Eau qui gèle	51.25
GRILLE rayon 1 km	
Commercial-Indust-Transp (Site at Airport)	6.33
Bare Rock-Sand-Clay Non Arid Region	3.80
Evergreen Forest	50.63
Mixed Forest	8.23
Pasture-Hay	1.90
Urban Recreational Grasses (Airport)	23.73
Pistes	5.38

Les valeurs calculées sont au Tableau 4.

Tableau 4. Paramètres de surface

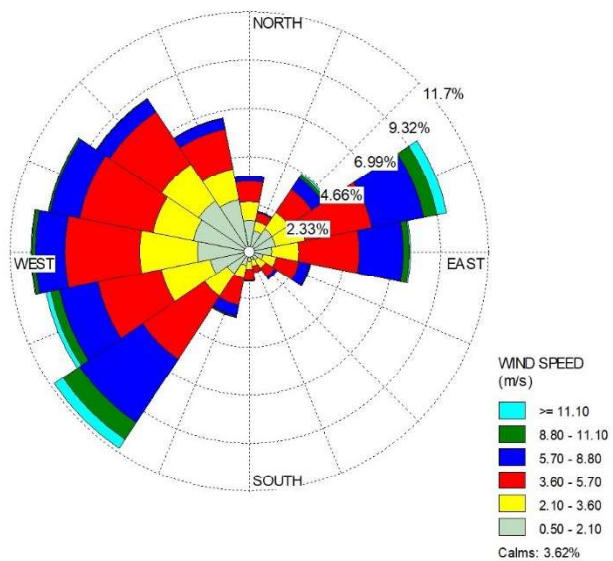
PARAMÈTRES DE SURFACE				
ZZERO Directions	hiver	printemps	été	automne
020°-080°	0.185	0.198	0.204	0.190
080°-250°	0.025	0.046	0.054	0.036
250°-020°	0.212	0.275	0.307	0.247
ALBÉDO	0.39	0.11	0.11	0.11
BOWEN	0.50	0.26	0.18	0.28
hiver: décembre-avril; printemps: mai-juin; été: juillet-août; automne: septembre-novembre				

## 4. FICHIERS DE MODÉLISATION

Les radiosondages, les données de surface, les données de radiation nette et les paramètres de surface sont traités par AERMET pour produire les fichiers de modélisation GBC-BAIECOMEAU-2016-2020.SFC et GBC-BAIECOMEAU-2016-2020.PFL. La composante aléatoire est ajoutée à la direction, l'option ADJ\_U\* est appliquée de même que l'interpolation.

La rose des vents issue du fichier sfc est illustrée à la Figure 3.

Figure 3. Rose des vents de Baie-Comeau



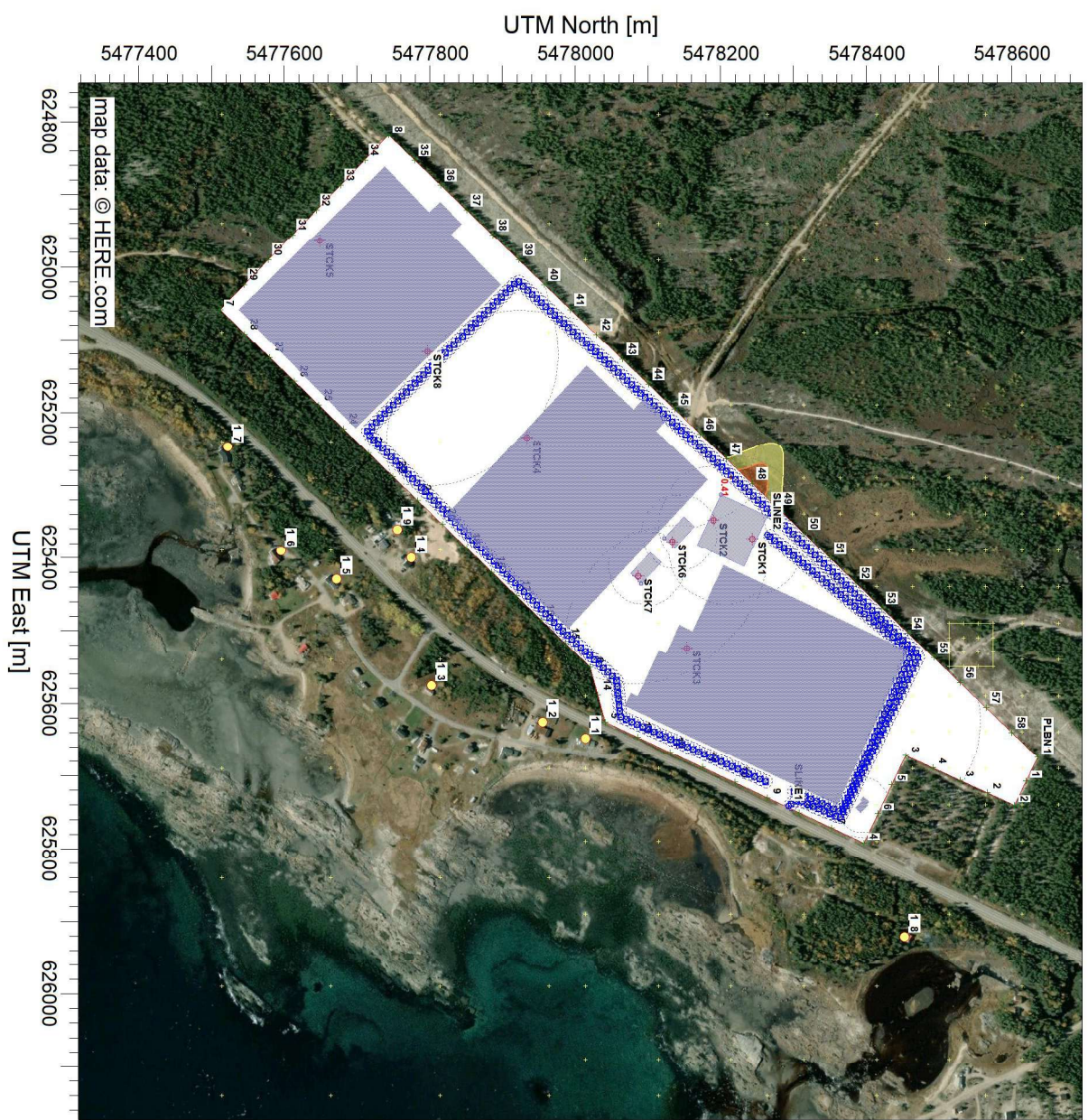
La vitesse moyenne est de 4.1 m/s et il y a 3.62% de CALMES.

---

Annexe 9      Résultats de la modélisation de dispersion  
atmosphérique

PROJET: AQUABORÉAL-ODEURS  
96 PERCENTILE 1h

VÉRIFIÉ:  
Pascale Pierre, Ing.



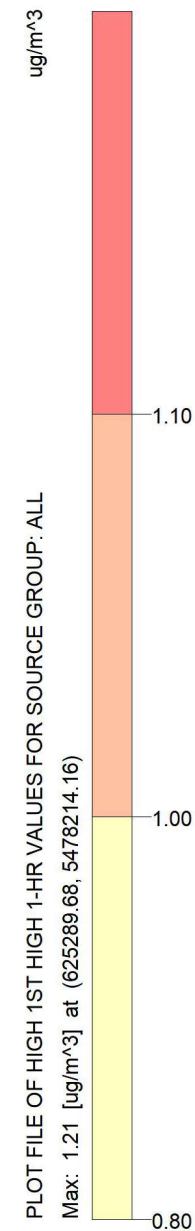
PLOT FILE OF 96.00TH PERCENTILE 1-HR VALUES FOR SOURCE GROUP: ALL

Max: 0.413 [OU/M\*\*3] at (625289.68, 5478214.16)

CLIENT:	10
SORTIE:	RÉCEPTEURS:
Concentration	1050
MAX:	0.413 OU/M**3
PAR:	Nicolae Fugaru, géométrologie
DATE:	7/13/2025
SCALE:	1:9,396
PROJECT NO.:	AQB-001
0.200	0.300
0.400	0.500

PROJET:  
**AQUABORÉAL**  
**H2S 4 MIN.**

VÉRIFIÉ:  
Pascale Pierre, ing.



SOURCES:

**10**

RÉCEPTEURS:

**1050**

SORTIE:

**Concentration**

MAX:

**1.21  $\mu\text{g}/\text{m}^3$**

CLIENT:

PAR:

Nicolae Fugaru, géomaticien

DATE:

**7/13/2025**

SCALE:

1:10,997

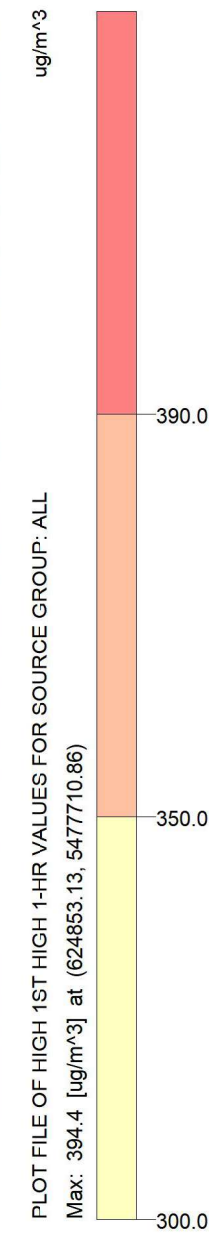
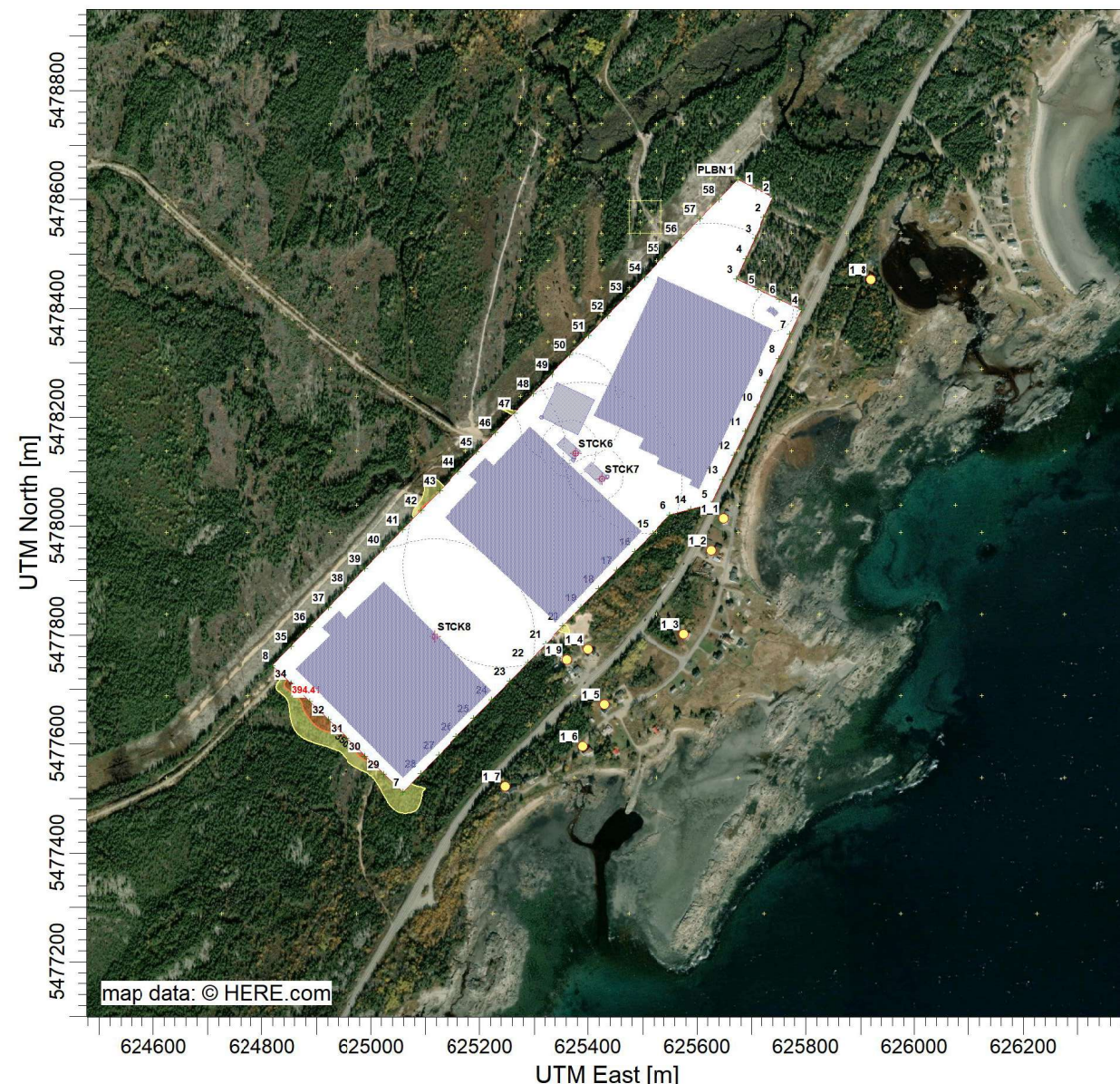
0 0.3 km

PROJET NO.:

**AQB-001**

PROJET:  
**AQUABORÉAL**  
NO<sub>2</sub>=NOx 1h

VÉRIFIÉ:  
Pascale Pierre, ing.



SOURCES:

**3**

RÉCEPTEURS:

**1003**

SORTIE:

**Concentration**

MAX:

**394.4  $\mu\text{g}/\text{m}^3$**

CLIENT:

PAR:

Nicolae Fugaru, géomaticien

DATE:

**7/13/2025**

SCALE: 1:12,601

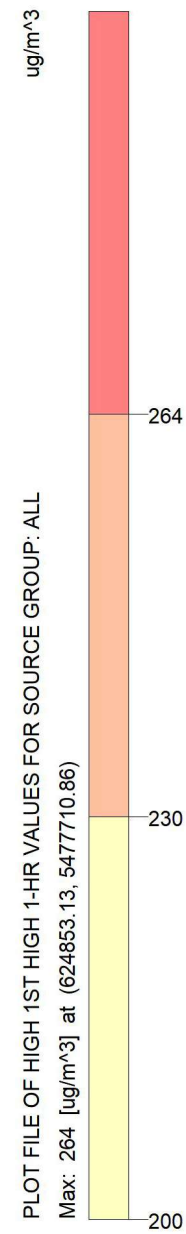
0 0.3 km

PROJET NO.:

**AQB-001**

PROJET:  
**AQUABORÉAL**  
NO<sub>2</sub> MÉTHODE OLM 1h

VÉRIFIÉ:  
Pascale Pierre, ing.



PROJET:  
**AQUABORÉAL**  
PM TOT 24H

VÉRIFIÉ:  
Pascale Pierre, ing.



SOURCES: 10

RÉCEPTEURS: 1050

SORTIE: Concentration

MAX: 26.9 ug/m<sup>3</sup>

CLIENT:

PAR: Nicolae Fugaru, géomaticien

DATE: 7/13/2025

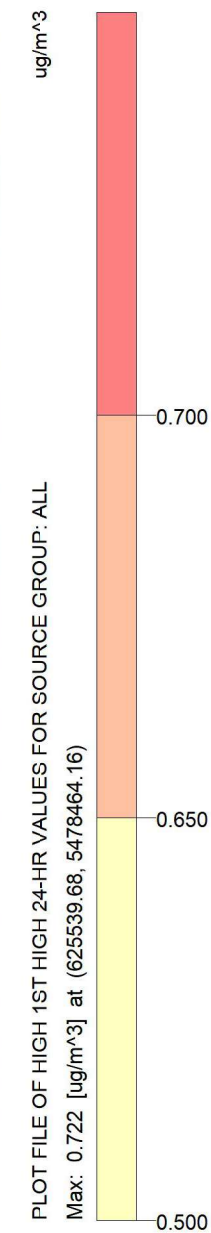
SCALE: 1:10,997

0 0.3 km

PROJET NO.: **AQB-001**

PROJET:  
**AQUABORÉAL**  
PM 2,5 24H

VÉRIFIÉ:  
Pascale Pierre, ing.



## Results Summary

C:\MODELS\AQUAboreal\_meteo\_baie comeau\AQUAboreal\_meteo\_baie comeau.

MULTI - Concentration - Source Group: ALL									
Averaging Period	Rank	Peak	Units	X (m)	Y (m)	ZELEV (m)	ZFLAG (m)	ZHILL (m)	Peak Date, Start Hour
1-HR	1ST	0.90890	OU/M**3	625289.68	5478214.16	12.14	0.00	12.91	8/8/2018, 23
24-HR	1ST	0.40013	OU/M**3	625289.68	5478214.16	12.14	0.00	12.91	9/18/2017, 24
ANNUAL		0.14746	OU/M**3	625389.68	5478214.16	10.59	0.00	10.59	
1-HR	99.50pct	0.61202	OU/M**3	625289.68	5478214.16	12.14	0.00	12.91	
1-HR	98.00pct	0.48560	OU/M**3	625289.68	5478214.16	12.14	0.00	12.91	
1-HR	96.00pct	0.41332	OU/M**3	625289.68	5478214.16	12.14	0.00	12.91	
24-HR	99.50pct	0.34900	OU/M**3	625289.68	5478214.16	12.14	0.00	12.91	
24-HR	98.00pct	0.30605	OU/M**3	625289.68	5478214.16	12.14	0.00	12.91	
24-HR	96.00pct	0.28490	OU/M**3	625289.68	5478214.16	12.14	0.00	12.91	

## Results Summary

C:\MODELS\AQUAboreal\_meteo\_baie comeau\AQUAboreal\_meteo\_baie comeau.

### CO - Concentration - Source Group: ALL

Averaging Period	Rank	Peak	Units	X (m)	Y (m)	ZELEV (m)	ZFLAG (m)	ZHILL (m)	Peak Date, Start Hour
1-HR	1ST	789.27368	ug/m^3	624853.13	5477710.86	11.87	0.00	23.97	12/21/2018, 15
8-HR	1ST	455.74829	ug/m^3	625489.68	5478114.16	9.39	0.00	9.39	1/27/2017, 16
24-HR	1ST	192.17377	ug/m^3	625489.68	5478114.16	9.39	0.00	9.39	1/27/2017, 24
ANNUAL		23.11630	ug/m^3	625089.68	5477814.16	10.85	0.00	10.85	

### H2s - Concentration - Source Group: ALL

Averaging Period	Rank	Peak	Units	X (m)	Y (m)	ZELEV (m)	ZFLAG (m)	ZHILL (m)	Peak Date, Start Hour
1-HR	1ST	0.63476	ug/m^3	625289.68	5478214.16	12.14	0.00	12.91	8/8/2018, 23
8-HR	1ST	0.37353	ug/m^3	625297.83	5478243.54	12.69	0.00	12.69	3/8/2017, 8
24-HR	1ST	0.27943	ug/m^3	625289.68	5478214.16	12.14	0.00	12.91	9/18/2017, 24
ANNUAL		0.10278	ug/m^3	625389.68	5478214.16	10.59	0.00	10.59	

### PM25 - Concentration - Source Group: ALL

Averaging Period	Rank	Peak	Units	X (m)	Y (m)	ZELEV (m)	ZFLAG (m)	ZHILL (m)	Peak Date, Start Hour
1-HR	1ST	5.09124	ug/m^3	625189.68	5478114.16	14.30	0.00	18.33	12/1/2018, 15
8-HR	1ST	1.75456	ug/m^3	625517.70	5477987.04	8.62	0.00	8.62	12/7/2016, 16
24-HR	1ST	0.72181	ug/m^3	625539.68	5478464.16	9.28	0.00	9.28	11/5/2016, 24
ANNUAL		0.12278	ug/m^3	625539.68	5478464.16	9.28	0.00	9.28	

## Results Summary

C:\MODELS\AQUAboreal\_meteo\_baie comeau\AQUAboreal\_meteo\_baie comeau.

### PMtot - Concentration - Source Group: ALL

Averaging Period	Rank	Peak	Units	X (m)	Y (m)	ZELEV (m)	ZFLAG (m)	ZHILL (m)	Peak Date, Start Hour
1-HR	1ST	189.37888	ug/m^3	625189.68	5478114.16	14.30	0.00	18.33	12/1/2018, 15
8-HR	1ST	66.98347	ug/m^3	625517.70	5477987.04	8.62	0.00	8.62	12/7/2016, 16
24-HR	1ST	26.92952	ug/m^3	625539.68	5478464.16	9.28	0.00	9.28	11/5/2016, 24
ANNUAL		4.62057	ug/m^3	625539.68	5478464.16	9.28	0.00	9.28	

## Results Summary

C:\MODELS\AQUAboreal\_meteo\_baie comeau\AQUAboreal\_meteo\_baie comeau.

### MULTI - Concentration - Source Group: ALL

Averaging Period	Rank	Peak	Units	X (m)	Y (m)	ZELEV (m)	ZFLAG (m)	ZHILL (m)	Peak Date, Start Hour
1-HR	1ST	394.41291	ug/m^3	624853.13	5477710.86	11.87	0.00	23.97	12/21/2018, 15
8-HR	1ST	207.72392	ug/m^3	624955.93	5477611.35	10.50	0.00	10.50	12/3/2017, 16
24-HR	1ST	78.82244	ug/m^3	624955.93	5477611.35	10.50	0.00	10.50	12/3/2017, 24
ANNUAL		7.03638	ug/m^3	625550.48	5478020.98	8.48	0.00	8.48	

### NOx - Concentration - Source Group: ALL

Averaging Period	Rank	Peak	Units	X (m)	Y (m)	ZELEV (m)	ZFLAG (m)	ZHILL (m)	Peak Date, Start Hour
1-HR	1ST	394.37146	ug/m^3	624853.13	5477710.86	11.87	0.00	23.97	12/21/2018, 15
8-HR	1ST	207.01718	ug/m^3	624955.93	5477611.35	10.50	0.00	10.50	12/3/2017, 16
24-HR	1ST	78.55659	ug/m^3	624955.93	5477611.35	10.50	0.00	10.50	12/3/2017, 24
ANNUAL		6.91948	ug/m^3	625550.48	5478020.98	8.48	0.00	8.48	

## Results Summary

C:\MODELS\AQUAboreal\_meteo\_baie comeau\AQUAboreal\_meteo\_baie comeau.

### NO2 - Concentration - Source Group: ALL

Averaging Period	Rank	Peak	Units	X (m)	Y (m)	ZELEV (m)	ZFLAG (m)	ZHILL (m)	Peak Date, Start Hour
1-HR	1ST	264.28979	ug/m^3	624853.13	5477710.86	11.87	0.00	23.97	12/21/2018, 15
8-HR	1ST	167.36681	ug/m^3	624955.93	5477611.35	10.50	0.00	10.50	12/3/2017, 16
24-HR	1ST	64.41195	ug/m^3	624955.93	5477611.35	10.50	0.00	10.50	12/3/2017, 24
ANNUAL		6.30616	ug/m^3	625092.56	5478029.47	17.52	0.00	17.52	

## Sensitive Receptor Summary

C:\MODELS\AQUAboreal\_meteo\_baie comeau\AQUAboreal\_meteo\_baie comeau.

### CO - Concentration - Source Group: ALL

Averaging Period	Rank	Peak	Units	Receptor ID	X (m)	Y (m)	ZELEV (m)	ZFLAG (m)	ZHILL (m)	Peak Date, Start Hour
1-HR	1ST	468.47629	ug/m^3	1	625647.89	5478014.35	6.12	0.00	6.12	12/7/2016, 9
1-HR	1ST	497.37100	ug/m^3	1	625626.13	5477955.37	6.34	0.00	6.34	10/27/2019, 7
1-HR	1ST	248.72640	ug/m^3	1	625575.66	5477802.22	6.26	0.00	6.26	12/4/2017, 7
1-HR	1ST	461.62476	ug/m^3	1	625400.17	5477774.62	8.34	0.00	8.34	11/25/2020, 8
1-HR	1ST	244.05669	ug/m^3	1	625429.22	5477672.30	7.87	0.00	7.87	11/18/2019, 7
1-HR	1ST	218.49443	ug/m^3	1	625390.54	5477595.77	6.54	0.00	9.55	10/15/2017, 7
1-HR	1ST	228.74280	ug/m^3	1	625247.10	5477522.47	7.40	0.00	7.40	1/3/2020, 7
1-HR	1ST	159.54008	ug/m^3	1	625921.00	5478453.00	4.20	0.00	4.20	3/3/2020, 7
1-HR	1ST	308.12585	ug/m^3	1	625361.07	5477755.43	8.50	0.00	8.50	10/29/2018, 7
8-HR	1ST	194.55563	ug/m^3	1	625647.89	5478014.35	6.12	0.00	6.12	12/25/2020, 16
8-HR	1ST	187.72415	ug/m^3	1	625626.13	5477955.37	6.34	0.00	6.34	12/25/2020, 16
8-HR	1ST	114.31021	ug/m^3	1	625575.66	5477802.22	6.26	0.00	6.26	11/30/2019, 16
8-HR	1ST	148.43411	ug/m^3	1	625400.17	5477774.62	8.34	0.00	8.34	12/30/2020, 16
8-HR	1ST	127.94734	ug/m^3	1	625429.22	5477672.30	7.87	0.00	7.87	12/30/2020, 16
8-HR	1ST	92.15028	ug/m^3	1	625390.54	5477595.77	6.54	0.00	9.55	12/30/2020, 16
8-HR	1ST	82.32729	ug/m^3	1	625247.10	5477522.47	7.40	0.00	7.40	10/30/2016, 16
8-HR	1ST	76.30833	ug/m^3	1	625921.00	5478453.00	4.20	0.00	4.20	1/12/2018, 16
8-HR	1ST	99.98930	ug/m^3	1	625361.07	5477755.43	8.50	0.00	8.50	1/3/2016, 16
24-HR	1ST	81.98214	ug/m^3	1	625647.89	5478014.35	6.12	0.00	6.12	12/25/2020, 24
24-HR	1ST	83.36122	ug/m^3	1	625626.13	5477955.37	6.34	0.00	6.34	12/25/2020, 24

## Sensitive Receptor Summary

C:\MODELS\AQUAboreal\_meteo\_baie comeau\AQUAboreal\_meteo\_baie comeau.

**CO - Concentration - Source Group: ALL**

Averaging Period	Rank	Peak	Units	Receptor ID	X (m)	Y (m)	ZELEV (m)	ZFLAG (m)	ZHILL (m)	Peak Date, Start Hour
24-HR	1ST	40.04958	ug/m^3	1	625575.66	5477802.22	6.26	0.00	6.26	11/28/2016, 24
24-HR	1ST	62.73981	ug/m^3	1	625400.17	5477774.62	8.34	0.00	8.34	12/30/2020, 24
24-HR	1ST	53.98222	ug/m^3	1	625429.22	5477672.30	7.87	0.00	7.87	12/30/2020, 24
24-HR	1ST	39.43517	ug/m^3	1	625390.54	5477595.77	6.54	0.00	9.55	12/30/2020, 24
24-HR	1ST	31.25994	ug/m^3	1	625247.10	5477522.47	7.40	0.00	7.40	10/30/2016, 24
24-HR	1ST	28.08206	ug/m^3	1	625921.00	5478453.00	4.20	0.00	4.20	1/12/2018, 24
24-HR	1ST	41.40031	ug/m^3	1	625361.07	5477755.43	8.50	0.00	8.50	12/30/2020, 24
ANNUAL		9.53221	ug/m^3	1	625647.89	5478014.35	6.12	0.00	6.12	
ANNUAL		8.11078	ug/m^3	1	625626.13	5477955.37	6.34	0.00	6.34	
ANNUAL		5.33349	ug/m^3	1	625575.66	5477802.22	6.26	0.00	6.26	
ANNUAL		6.21572	ug/m^3	1	625400.17	5477774.62	8.34	0.00	8.34	
ANNUAL		4.91919	ug/m^3	1	625429.22	5477672.30	7.87	0.00	7.87	
ANNUAL		4.06217	ug/m^3	1	625390.54	5477595.77	6.54	0.00	9.55	
ANNUAL		3.44082	ug/m^3	1	625247.10	5477522.47	7.40	0.00	7.40	
ANNUAL		3.63051	ug/m^3	1	625921.00	5478453.00	4.20	0.00	4.20	
ANNUAL		6.06876	ug/m^3	1	625361.07	5477755.43	8.50	0.00	8.50	

## Sensitive Receptor Summary

C:\MODELS\AQUAboreal\_meteo\_baie comeau\AQUAboreal\_meteo\_baie comeau.

### H2s - Concentration - Source Group: ALL

Averaging Period	Rank	Peak	Units	Receptor ID	X (m)	Y (m)	ZELEV (m)	ZFLAG (m)	ZHILL (m)	Peak Date, Start Hour
1-HR	1ST	0.28337	ug/m^3	1	625647.89	5478014.35	6.12	0.00	6.12	8/6/2018, 22
1-HR	1ST	0.26587	ug/m^3	1	625626.13	5477955.37	6.34	0.00	6.34	7/4/2017, 21
1-HR	1ST	0.24319	ug/m^3	1	625575.66	5477802.22	6.26	0.00	6.26	8/12/2016, 19
1-HR	1ST	0.30611	ug/m^3	1	625400.17	5477774.62	8.34	0.00	8.34	8/4/2018, 22
1-HR	1ST	0.27385	ug/m^3	1	625429.22	5477672.30	7.87	0.00	7.87	8/4/2018, 22
1-HR	1ST	0.25181	ug/m^3	1	625390.54	5477595.77	6.54	0.00	9.55	7/31/2019, 20
1-HR	1ST	0.24783	ug/m^3	1	625247.10	5477522.47	7.40	0.00	7.40	7/30/2020, 1
1-HR	1ST	0.26960	ug/m^3	1	625921.00	5478453.00	4.20	0.00	4.20	7/30/2020, 20
1-HR	1ST	0.30401	ug/m^3	1	625361.07	5477755.43	8.50	0.00	8.50	7/31/2020, 4
8-HR	1ST	0.09728	ug/m^3	1	625647.89	5478014.35	6.12	0.00	6.12	12/24/2020, 24
8-HR	1ST	0.08910	ug/m^3	1	625626.13	5477955.37	6.34	0.00	6.34	9/15/2018, 24
8-HR	1ST	0.06148	ug/m^3	1	625575.66	5477802.22	6.26	0.00	6.26	8/12/2016, 24
8-HR	1ST	0.07098	ug/m^3	1	625400.17	5477774.62	8.34	0.00	8.34	7/31/2020, 8
8-HR	1ST	0.05879	ug/m^3	1	625429.22	5477672.30	7.87	0.00	7.87	7/31/2020, 8
8-HR	1ST	0.05648	ug/m^3	1	625390.54	5477595.77	6.54	0.00	9.55	7/31/2020, 8
8-HR	1ST	0.07494	ug/m^3	1	625247.10	5477522.47	7.40	0.00	7.40	7/29/2020, 8
8-HR	1ST	0.09409	ug/m^3	1	625921.00	5478453.00	4.20	0.00	4.20	7/30/2020, 24
8-HR	1ST	0.07322	ug/m^3	1	625361.07	5477755.43	8.50	0.00	8.50	7/31/2020, 8
24-HR	1ST	0.06826	ug/m^3	1	625647.89	5478014.35	6.12	0.00	6.12	12/25/2020, 24
24-HR	1ST	0.05731	ug/m^3	1	625626.13	5477955.37	6.34	0.00	6.34	12/24/2020, 24
24-HR	1ST	0.03769	ug/m^3	1	625575.66	5477802.22	6.26	0.00	6.26	12/22/2020, 24

Project File: C:\MODELS\AQUAboreal\_meteo\_wrf\AQUAboreal\_meteo\_baie comeau.isc

AERMOD View by Lakes Environmental Software

RS - 3 of 8

7/13/2025

## Sensitive Receptor Summary

C:\MODELS\AQUAboreal\_meteo\_baie comeau\AQUAboreal\_meteo\_baie comeau.

### H2s - Concentration - Source Group: ALL

Averaging Period	Rank	Peak	Units	Receptor ID	X (m)	Y (m)	ZELEV (m)	ZFLAG (m)	ZHILL (m)	Peak Date, Start Hour
24-HR	1ST	0.04340	ug/m^3	1	625400.17	5477774.62	8.34	0.00	8.34	12/30/2020, 24
24-HR	1ST	0.03066	ug/m^3	1	625429.22	5477672.30	7.87	0.00	7.87	12/30/2020, 24
24-HR	1ST	0.02437	ug/m^3	1	625390.54	5477595.77	6.54	0.00	9.55	12/30/2020, 24
24-HR	1ST	0.02820	ug/m^3	1	625247.10	5477522.47	7.40	0.00	7.40	8/2/2016, 24
24-HR	1ST	0.03834	ug/m^3	1	625921.00	5478453.00	4.20	0.00	4.20	8/2/2018, 24
24-HR	1ST	0.03420	ug/m^3	1	625361.07	5477755.43	8.50	0.00	8.50	12/30/2020, 24
ANNUAL		0.01227	ug/m^3	1	625647.89	5478014.35	6.12	0.00	6.12	
ANNUAL		0.01081	ug/m^3	1	625626.13	5477955.37	6.34	0.00	6.34	
ANNUAL		0.00699	ug/m^3	1	625575.66	5477802.22	6.26	0.00	6.26	
ANNUAL		0.00696	ug/m^3	1	625400.17	5477774.62	8.34	0.00	8.34	
ANNUAL		0.00507	ug/m^3	1	625429.22	5477672.30	7.87	0.00	7.87	
ANNUAL		0.00419	ug/m^3	1	625390.54	5477595.77	6.54	0.00	9.55	
ANNUAL		0.00361	ug/m^3	1	625247.10	5477522.47	7.40	0.00	7.40	
ANNUAL		0.00586	ug/m^3	1	625921.00	5478453.00	4.20	0.00	4.20	
ANNUAL		0.00629	ug/m^3	1	625361.07	5477755.43	8.50	0.00	8.50	

## Sensitive Receptor Summary

C:\MODELS\AQUAboreal\_meteo\_baie comeau\AQUAboreal\_meteo\_baie comeau.

### PM25 - Concentration - Source Group: ALL

Averaging Period	Rank	Peak	Units	Receptor ID	X (m)	Y (m)	ZELEV (m)	ZFLAG (m)	ZHILL (m)	Peak Date, Start Hour
1-HR	1ST	1.35673	ug/m^3	1	625647.89	5478014.35	6.12	0.00	6.12	12/19/2017, 8
1-HR	1ST	1.08528	ug/m^3	1	625626.13	5477955.37	6.34	0.00	6.34	12/19/2017, 8
1-HR	1ST	0.52832	ug/m^3	1	625575.66	5477802.22	6.26	0.00	6.26	12/26/2016, 15
1-HR	1ST	0.91756	ug/m^3	1	625400.17	5477774.62	8.34	0.00	8.34	12/2/2017, 7
1-HR	1ST	0.68929	ug/m^3	1	625429.22	5477672.30	7.87	0.00	7.87	12/1/2018, 7
1-HR	1ST	0.67303	ug/m^3	1	625390.54	5477595.77	6.54	0.00	9.55	12/8/2017, 8
1-HR	1ST	0.56899	ug/m^3	1	625247.10	5477522.47	7.40	0.00	7.40	12/12/2016, 8
1-HR	1ST	1.14958	ug/m^3	1	625921.00	5478453.00	4.20	0.00	4.20	2/21/2016, 7
1-HR	1ST	1.06281	ug/m^3	1	625361.07	5477755.43	8.50	0.00	8.50	1/2/2017, 7
8-HR	1ST	0.62704	ug/m^3	1	625647.89	5478014.35	6.12	0.00	6.12	1/3/2019, 16
8-HR	1ST	0.43346	ug/m^3	1	625626.13	5477955.37	6.34	0.00	6.34	1/3/2019, 16
8-HR	1ST	0.30747	ug/m^3	1	625575.66	5477802.22	6.26	0.00	6.26	1/3/2019, 16
8-HR	1ST	0.50222	ug/m^3	1	625400.17	5477774.62	8.34	0.00	8.34	1/3/2019, 16
8-HR	1ST	0.34707	ug/m^3	1	625429.22	5477672.30	7.87	0.00	7.87	1/3/2019, 16
8-HR	1ST	0.27542	ug/m^3	1	625390.54	5477595.77	6.54	0.00	9.55	1/3/2019, 16
8-HR	1ST	0.26962	ug/m^3	1	625247.10	5477522.47	7.40	0.00	7.40	1/3/2019, 16
8-HR	1ST	0.35907	ug/m^3	1	625921.00	5478453.00	4.20	0.00	4.20	12/11/2020, 16
8-HR	1ST	0.57000	ug/m^3	1	625361.07	5477755.43	8.50	0.00	8.50	1/3/2019, 16
24-HR	1ST	0.21349	ug/m^3	1	625647.89	5478014.35	6.12	0.00	6.12	1/3/2019, 24
24-HR	1ST	0.16491	ug/m^3	1	625626.13	5477955.37	6.34	0.00	6.34	12/11/2020, 24
24-HR	1ST	0.10488	ug/m^3	1	625575.66	5477802.22	6.26	0.00	6.26	1/3/2019, 24

Project File: C:\MODELS\AQUAboreal\_meteo\_wrf\AQUAboreal\_meteo\_baie comeau.isc

AERMOD View by Lakes Environmental Software

RS - 5 of 8

7/13/2025

## Sensitive Receptor Summary

C:\MODELS\AQUAboreal\_meteo\_baie comeau\AQUAboreal\_meteo\_baie comeau.

### PM25 - Concentration - Source Group: ALL

Averaging Period	Rank	Peak	Units	Receptor ID	X (m)	Y (m)	ZELEV (m)	ZFLAG (m)	ZHILL (m)	Peak Date, Start Hour
24-HR	1ST	0.17367	ug/m^3	1	625400.17	5477774.62	8.34	0.00	8.34	12/5/2016, 24
24-HR	1ST	0.11634	ug/m^3	1	625429.22	5477672.30	7.87	0.00	7.87	1/3/2019, 24
24-HR	1ST	0.09922	ug/m^3	1	625390.54	5477595.77	6.54	0.00	9.55	12/5/2016, 24
24-HR	1ST	0.08463	ug/m^3	1	625247.10	5477522.47	7.40	0.00	7.40	1/3/2019, 24
24-HR	1ST	0.14644	ug/m^3	1	625921.00	5478453.00	4.20	0.00	4.20	12/11/2020, 24
24-HR	1ST	0.19927	ug/m^3	1	625361.07	5477755.43	8.50	0.00	8.50	12/5/2016, 24
ANNUAL		0.02751	ug/m^3	1	625647.89	5478014.35	6.12	0.00	6.12	
ANNUAL		0.01883	ug/m^3	1	625626.13	5477955.37	6.34	0.00	6.34	
ANNUAL		0.01066	ug/m^3	1	625575.66	5477802.22	6.26	0.00	6.26	
ANNUAL		0.02220	ug/m^3	1	625400.17	5477774.62	8.34	0.00	8.34	
ANNUAL		0.01018	ug/m^3	1	625429.22	5477672.30	7.87	0.00	7.87	
ANNUAL		0.00741	ug/m^3	1	625390.54	5477595.77	6.54	0.00	9.55	
ANNUAL		0.00471	ug/m^3	1	625247.10	5477522.47	7.40	0.00	7.40	
ANNUAL		0.00975	ug/m^3	1	625921.00	5478453.00	4.20	0.00	4.20	
ANNUAL		0.02601	ug/m^3	1	625361.07	5477755.43	8.50	0.00	8.50	

## Sensitive Receptor Summary

C:\MODELS\AQUAboreal\_meteo\_baie comeau\AQUAboreal\_meteo\_baie comeau.

### PMtot - Concentration - Source Group: ALL

Averaging Period	Rank	Peak	Units	Receptor ID	X (m)	Y (m)	ZELEV (m)	ZFLAG (m)	ZHILL (m)	Peak Date, Start Hour
1-HR	1ST	52.02631	ug/m^3	1	625647.89	5478014.35	6.12	0.00	6.12	12/19/2017, 8
1-HR	1ST	41.25400	ug/m^3	1	625626.13	5477955.37	6.34	0.00	6.34	12/19/2017, 8
1-HR	1ST	21.80629	ug/m^3	1	625575.66	5477802.22	6.26	0.00	6.26	12/26/2016, 15
1-HR	1ST	37.21707	ug/m^3	1	625400.17	5477774.62	8.34	0.00	8.34	12/2/2017, 7
1-HR	1ST	28.25967	ug/m^3	1	625429.22	5477672.30	7.87	0.00	7.87	12/1/2018, 7
1-HR	1ST	27.44509	ug/m^3	1	625390.54	5477595.77	6.54	0.00	9.55	12/8/2017, 8
1-HR	1ST	23.65480	ug/m^3	1	625247.10	5477522.47	7.40	0.00	7.40	12/12/2016, 8
1-HR	1ST	42.90007	ug/m^3	1	625921.00	5478453.00	4.20	0.00	4.20	2/21/2016, 7
1-HR	1ST	42.64848	ug/m^3	1	625361.07	5477755.43	8.50	0.00	8.50	1/2/2017, 7
8-HR	1ST	24.15109	ug/m^3	1	625647.89	5478014.35	6.12	0.00	6.12	1/3/2019, 16
8-HR	1ST	17.22303	ug/m^3	1	625626.13	5477955.37	6.34	0.00	6.34	1/3/2019, 16
8-HR	1ST	12.62882	ug/m^3	1	625575.66	5477802.22	6.26	0.00	6.26	1/3/2019, 16
8-HR	1ST	19.10462	ug/m^3	1	625400.17	5477774.62	8.34	0.00	8.34	1/3/2019, 16
8-HR	1ST	13.71249	ug/m^3	1	625429.22	5477672.30	7.87	0.00	7.87	1/3/2019, 16
8-HR	1ST	10.81164	ug/m^3	1	625390.54	5477595.77	6.54	0.00	9.55	1/3/2019, 16
8-HR	1ST	11.15791	ug/m^3	1	625247.10	5477522.47	7.40	0.00	7.40	1/3/2019, 16
8-HR	1ST	13.64660	ug/m^3	1	625921.00	5478453.00	4.20	0.00	4.20	12/11/2020, 16
8-HR	1ST	21.43536	ug/m^3	1	625361.07	5477755.43	8.50	0.00	8.50	1/3/2019, 16
24-HR	1ST	8.22306	ug/m^3	1	625647.89	5478014.35	6.12	0.00	6.12	12/5/2016, 24
24-HR	1ST	6.37788	ug/m^3	1	625626.13	5477955.37	6.34	0.00	6.34	12/11/2020, 24
24-HR	1ST	4.32331	ug/m^3	1	625575.66	5477802.22	6.26	0.00	6.26	1/3/2019, 24

Project File: C:\MODELS\AQUAboreal\_meteo\_wrf\AQUAboreal\_meteo\_baie comeau.isc

AERMOD View by Lakes Environmental Software

RS - 7 of 8

7/13/2025

## Sensitive Receptor Summary

C:\MODELS\AQUAboreal\_meteo\_baie comeau\AQUAboreal\_meteo\_baie comeau.

### PMtot - Concentration - Source Group: ALL

Averaging Period	Rank	Peak	Units	Receptor ID	X (m)	Y (m)	ZELEV (m)	ZFLAG (m)	ZHILL (m)	Peak Date, Start Hour
24-HR	1ST	6.66761	ug/m^3	1	625400.17	5477774.62	8.34	0.00	8.34	12/5/2016, 24
24-HR	1ST	4.55767	ug/m^3	1	625429.22	5477672.30	7.87	0.00	7.87	1/3/2019, 24
24-HR	1ST	3.91596	ug/m^3	1	625390.54	5477595.77	6.54	0.00	9.55	12/5/2016, 24
24-HR	1ST	3.56352	ug/m^3	1	625247.10	5477522.47	7.40	0.00	7.40	1/3/2019, 24
24-HR	1ST	5.55765	ug/m^3	1	625921.00	5478453.00	4.20	0.00	4.20	12/11/2020, 24
24-HR	1ST	7.58601	ug/m^3	1	625361.07	5477755.43	8.50	0.00	8.50	12/5/2016, 24
ANNUAL		1.15592	ug/m^3	1	625647.89	5478014.35	6.12	0.00	6.12	
ANNUAL		0.81314	ug/m^3	1	625626.13	5477955.37	6.34	0.00	6.34	
ANNUAL		0.47092	ug/m^3	1	625575.66	5477802.22	6.26	0.00	6.26	
ANNUAL		0.91236	ug/m^3	1	625400.17	5477774.62	8.34	0.00	8.34	
ANNUAL		0.44704	ug/m^3	1	625429.22	5477672.30	7.87	0.00	7.87	
ANNUAL		0.33211	ug/m^3	1	625390.54	5477595.77	6.54	0.00	9.55	
ANNUAL		0.22293	ug/m^3	1	625247.10	5477522.47	7.40	0.00	7.40	
ANNUAL		0.41335	ug/m^3	1	625921.00	5478453.00	4.20	0.00	4.20	
ANNUAL		1.05190	ug/m^3	1	625361.07	5477755.43	8.50	0.00	8.50	

---

Annexe 10 Fiche technique de l'analyseur portatif de gaz

# Portable Hydrogen Sulfide Analyzer

## Gas Analyzer | Series 150-Portable



### Product Features

- Completely portable
- Compact (10" x 12" x 6") and lightweight (10 lbs)
- Rechargeable battery pack (~8 hour operation)
- Rugged built analyzer system
- Data Logger for data download to PC (optional)
- Internal sample pump for ambient air draw (optional)
- ASTM approved methods
- Specific to H<sub>2</sub>S only. No 'false positives', ever
- Automatic zero without zero gas
- Calibrations rarely required
- Fault Diagnostics
- Remote monitoring/control of analyzer (optional)

### Applications

- Rapid hydrogen sulfide specific analysis • Landfill and Biogas use • Ambient air measurements (optional internal pump)
- Oil field operations • Unbeatable accuracy • Rugged built analyzer system • Remote & Web based control of analyzer

### Product Description

The Series 150-Portable analyzer monitor is a completely portable gas analyzer. The analyzer features a cost-effective continuous analysis method for process control, air quality, laboratory, atmospheric monitoring and product quality purposes. In addition, the gas analyzer is accurate, dependable, and low maintenance.

Maximum versatility is offered with its compact (10" x 12" x 6"), lightweight (10 lbs), and wide range ability (single digit ppb to 500 ppm). The analyzer includes a rechargeable battery pack for completely portable operation in the field. An optional internal sample pump is available if sampling of the atmospheric air or similar is required. An optional Data Logger allows for data download to memory module for upload to PC for review.

The analyzer features the only detection technology capable of measuring hydrogen sulfide without interference or 'false positives' from other components. The microprocessor-based technology provides analysis based on the specific and interference free ASTM approved tape detection of operation.

This reliable field proven gas analyzer system continuously and specifically quantifies the hydrogen sulfide level in the sample with very minimal maintenance. Users demand Analytical System's portable H<sub>2</sub>S analyzer due to its precision, simplicity and reliability proven by thousands of worldwide installations around the globe.



Phone (281) 516-3950 or (281) 664-2890  
Sales@asikeco.com | support@asikeco.com



## Typical Specifications

### DISPLAY

- Alpha Numeric LCD
- 128 x 64 pixel

### TEMPERATURE RANGES

- 5°C to 50°C (operating)
- 0°C to 70°C (storage)

### ANALOG

- Isolated 4-20mA

### ANALYTICAL PERFORMANCE

- Resolution: 1 ppb
- Accuracy: ±2%
- Repeatability: ±1%
- Linearity: ±1%
- Drift: Nil
- Temp. Coefficient: 0.01% / °C
- Analysis Time: 0.75 Second

### DETECTION RANGES

- 0-1 ppm
- 0-50 ppm
- 0-500 ppm
- Other ranges available (contact factory)

### BATTERY PACK

- Operate ~8 to 16 hours, fully charged

### WEIGHT

- Approx. 10 lbs; 4.5 kg

### DIMENSIONS

- 10" X 12" X 6"

### POWER OPTIONS >= 5 Watts

- 110VAC, 60 Hz
- 220VAC, 50 Hz
- 12VDC
- 24VDC

### MAXIMUM PRESSURE

- 100 psig
- Greater with pressure regulator installed

### AVAILABLE OPTIONS

- Internal Sample Pump (for atmospheric sampling or short sample lines)
- Data Logger for data download to PC
- Remote monitoring/control with PC

Analytical Systems Keco provides design and application engineering assistance for the User's analyzer requirements. For a quotation, please complete Analyzer Quote Request Form at [www.LiquidGasAnalyzers.com/quote](http://www.LiquidGasAnalyzers.com/quote)

---

## Annexe 11 Fichiers d'entrée et de sortie de la modélisation de dispersion atmosphérique

Disponible en pièce jointe. Le nom du fichier est *AQUABOREAL\_AERMOD\_rev\_juillet\_2025*.